



Repetitorium der Histologie SS 2024

Bauplan einer Zelle

Zellkern

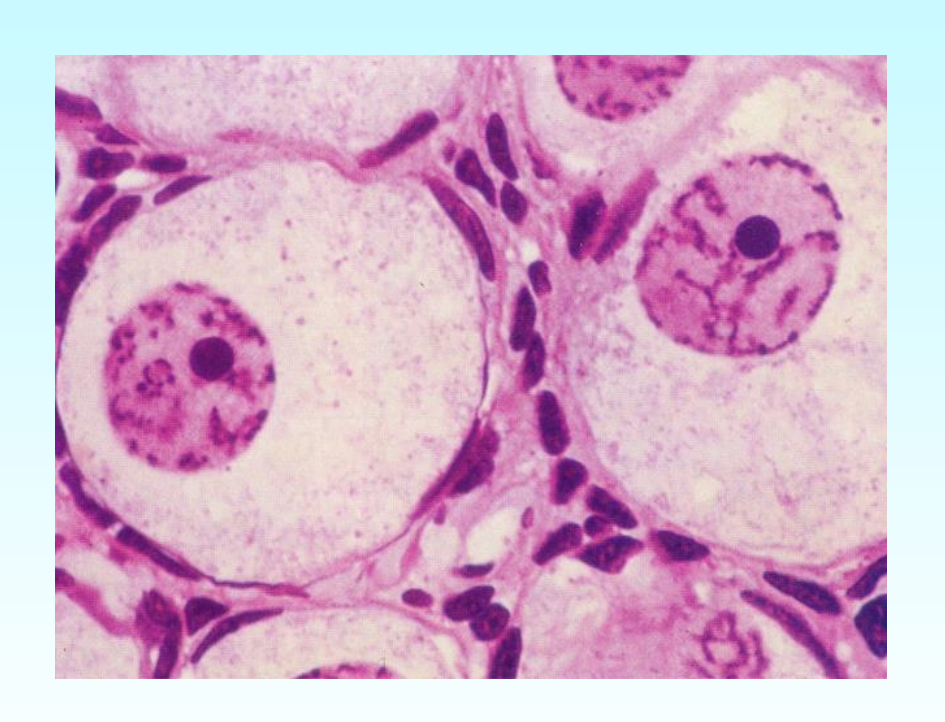
(Nucleus)

Zell-Leib

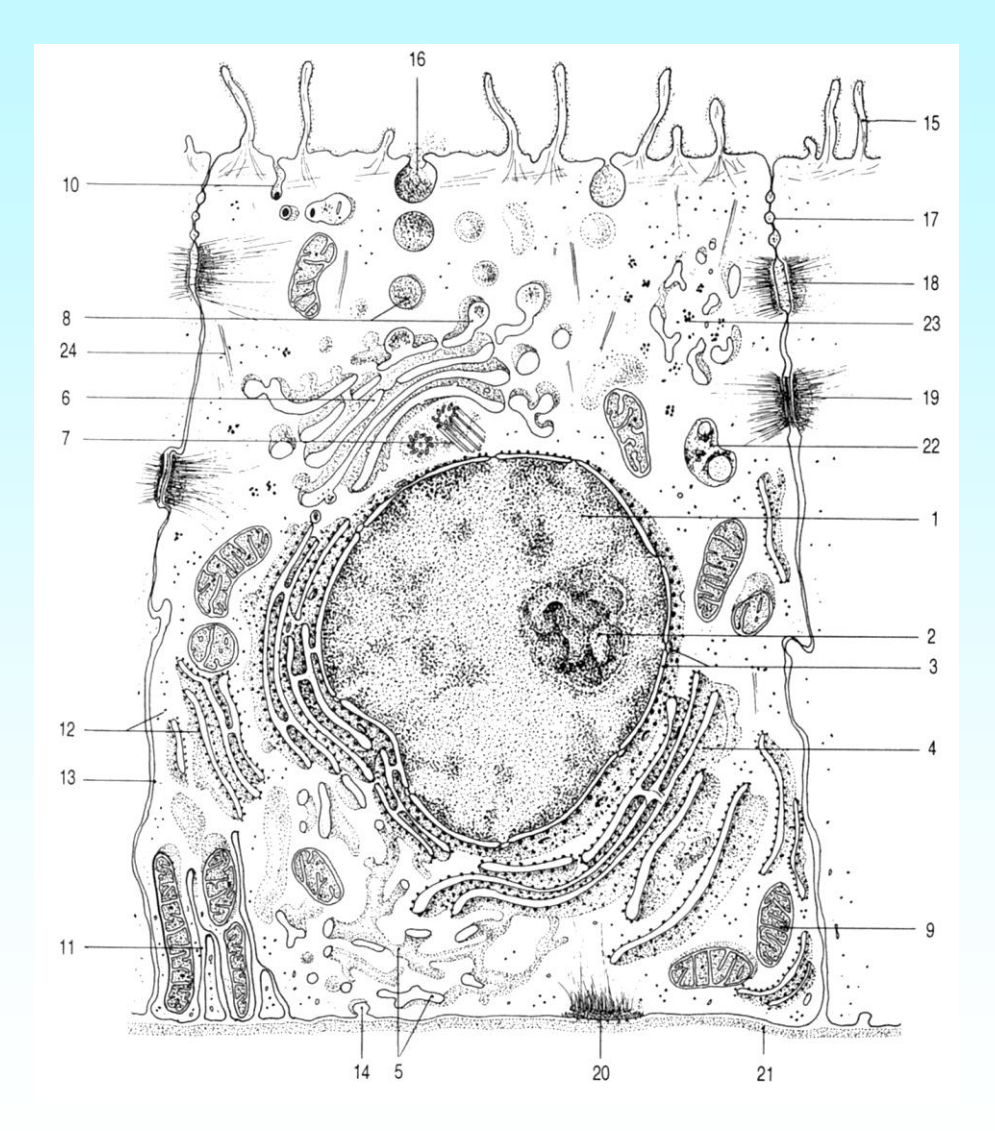
(Zytoplasma)

Zellmembran

(Plasmalemm)



Bauplan der Zelle (EM)

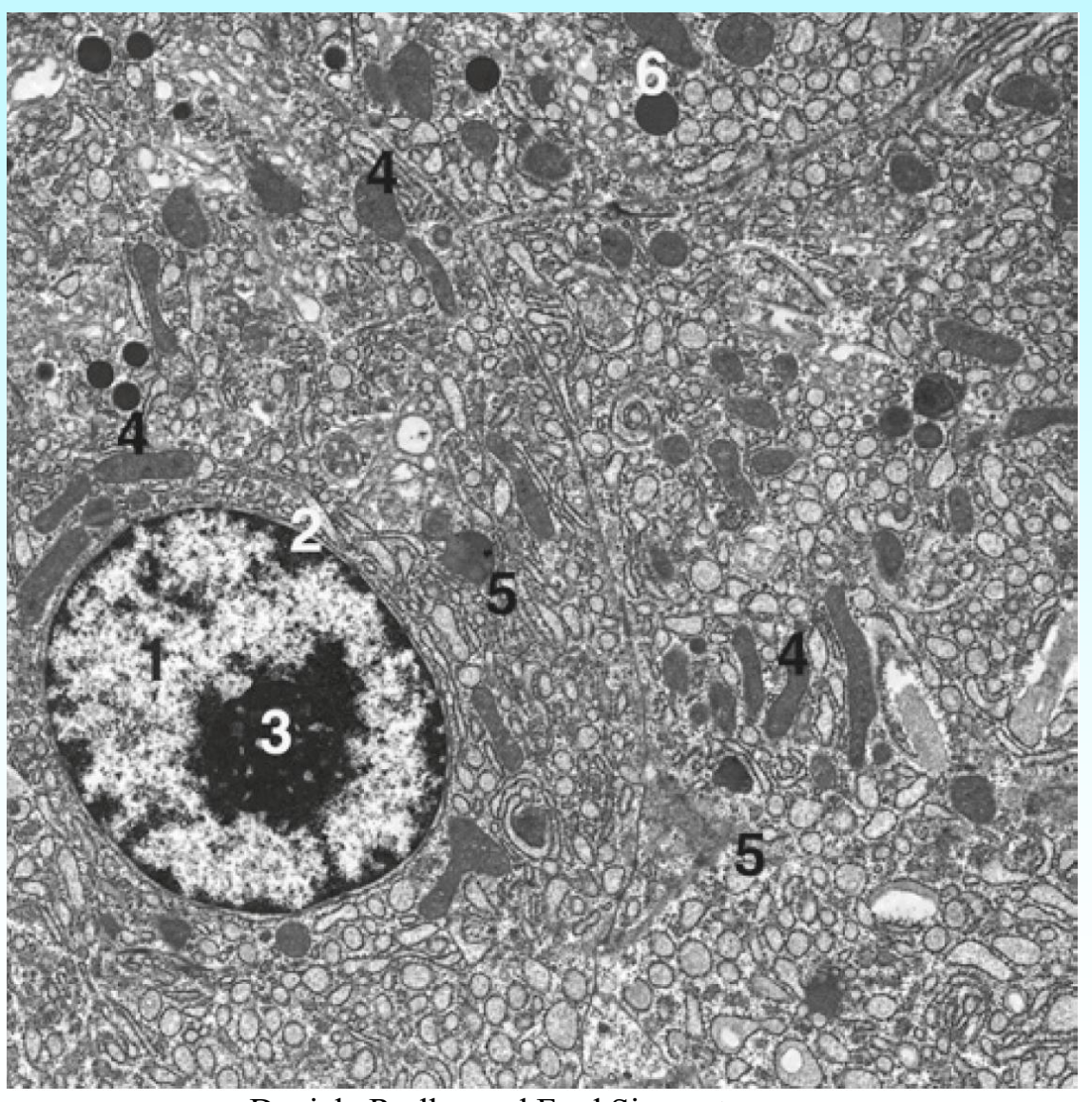


Daniela Rodler und Fred Sinowatz

Zelle - Elektronenmikroskopie



TEM Parotis Rind



Daniela Rodler und Fred Sinowatz

Der Zellkern als diagnostische Hilfe

"Gesicht der Zelle"

- Größe
- Form
- Chromatinverteilung
- Zahl und Größe der Nucleoli

Der Zellkern als diagnostische Hilfe

Lymphozyten: Runder kompakter Zellkern

Granulozyten: Segmentkernige und stabkernige Gz

Radspeichenkern der Plasmazellen

Stäbchenförmiger Kern der glatten Muskelzellen

Spindelförmiger Zellkern der Fibrozyten

Bläschenförmigen, nukleolenhaltigen Zelkgern von Ganglienzellen

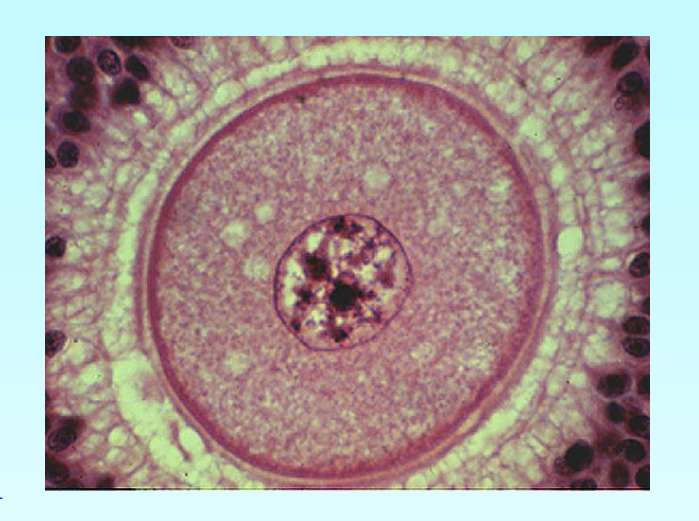
Riesiger, polyploider Kern der Megakaryozyten

Zellkern (Nucleus)

Enthält die Chromosomen (DNA)

Steuert die Proteinsynthese: mRNA

Übergeordnetes Stoffwechselzentrum



Kern-Plasma-Relation

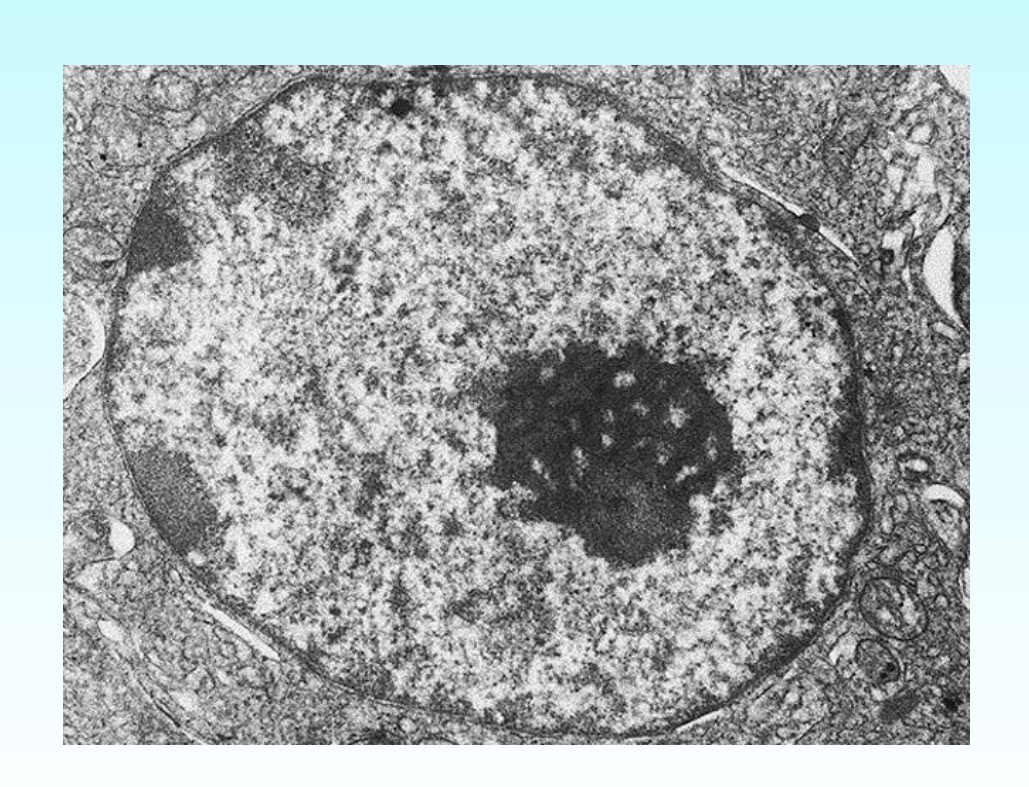
Interphasenkern

Teilungskern

Polyploide

Strukturen des Interphasekerns

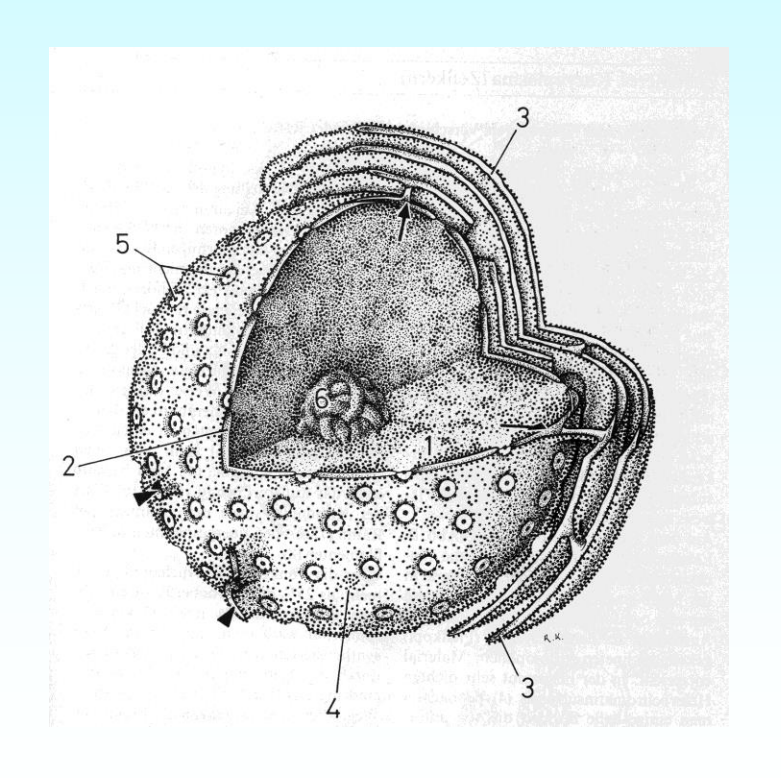
Kernhülle
(Karyotheca)
Kernraum
(Karyoplasma)
Kernkörperchen
(Nucleolus)

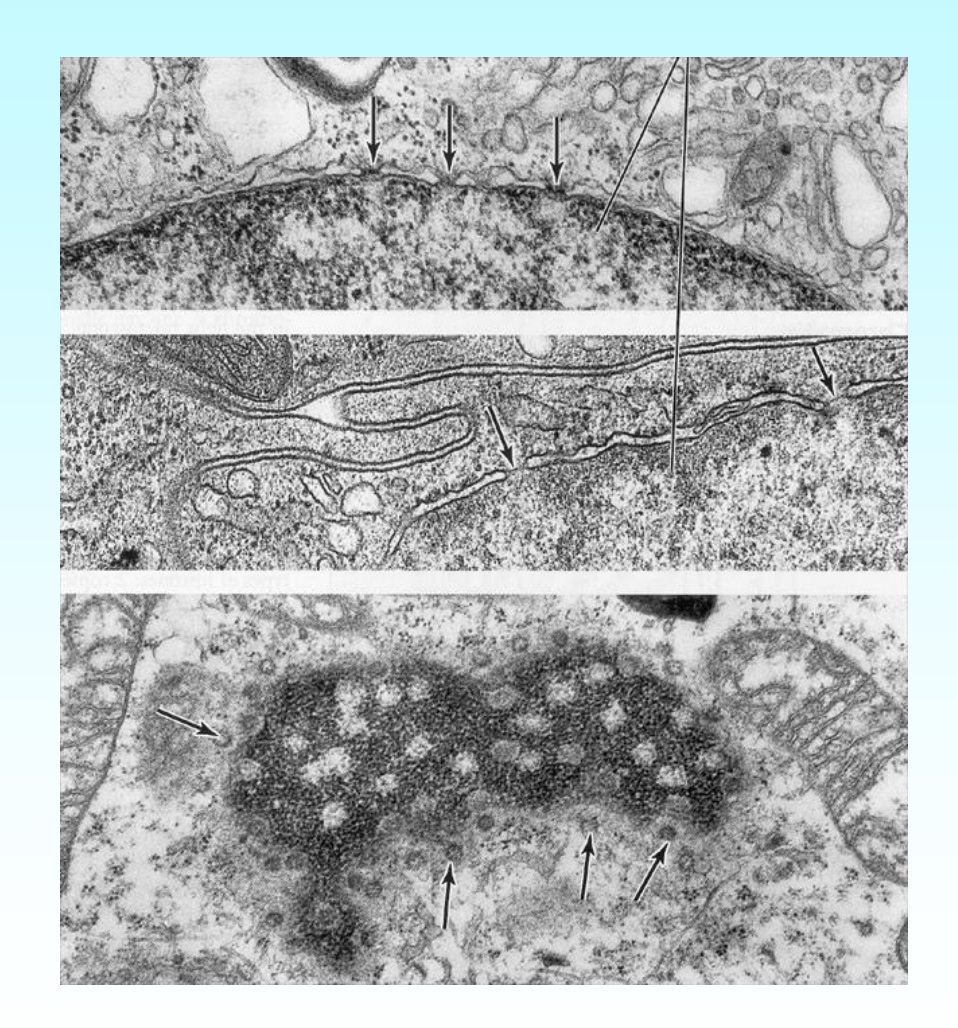


Daniela Rodler und Fred Sinowatz

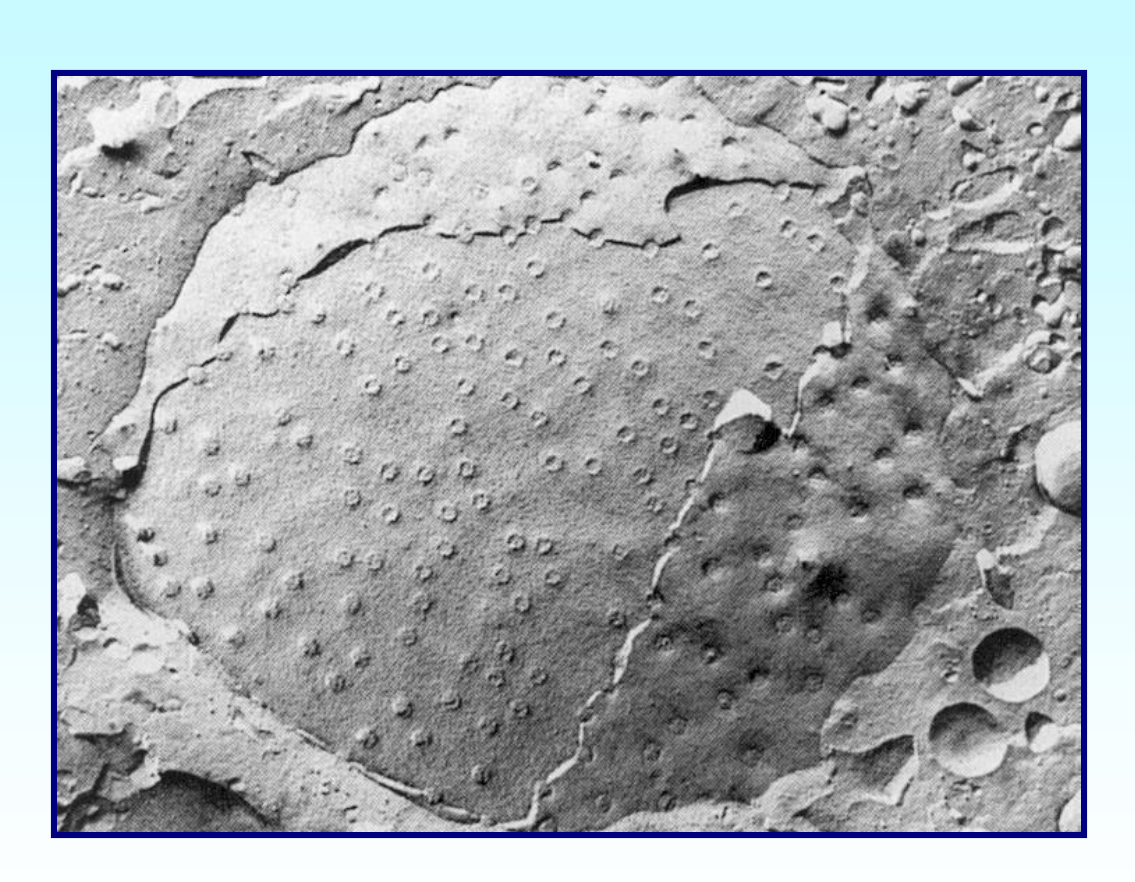
Kernhülle

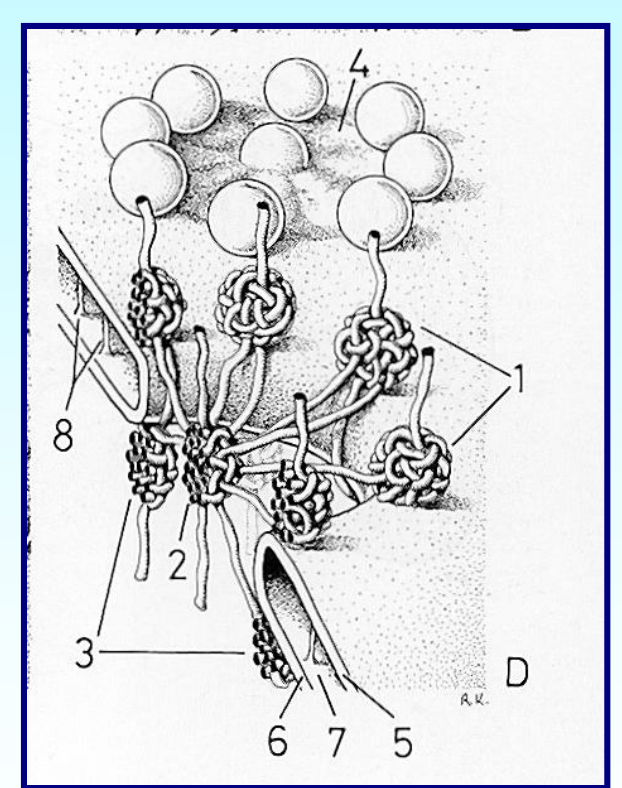
Innere und äußere Kernmembran Perinukleärer Raum





Kernporen





Kernporen: Anulus mit zentralem

Granulum

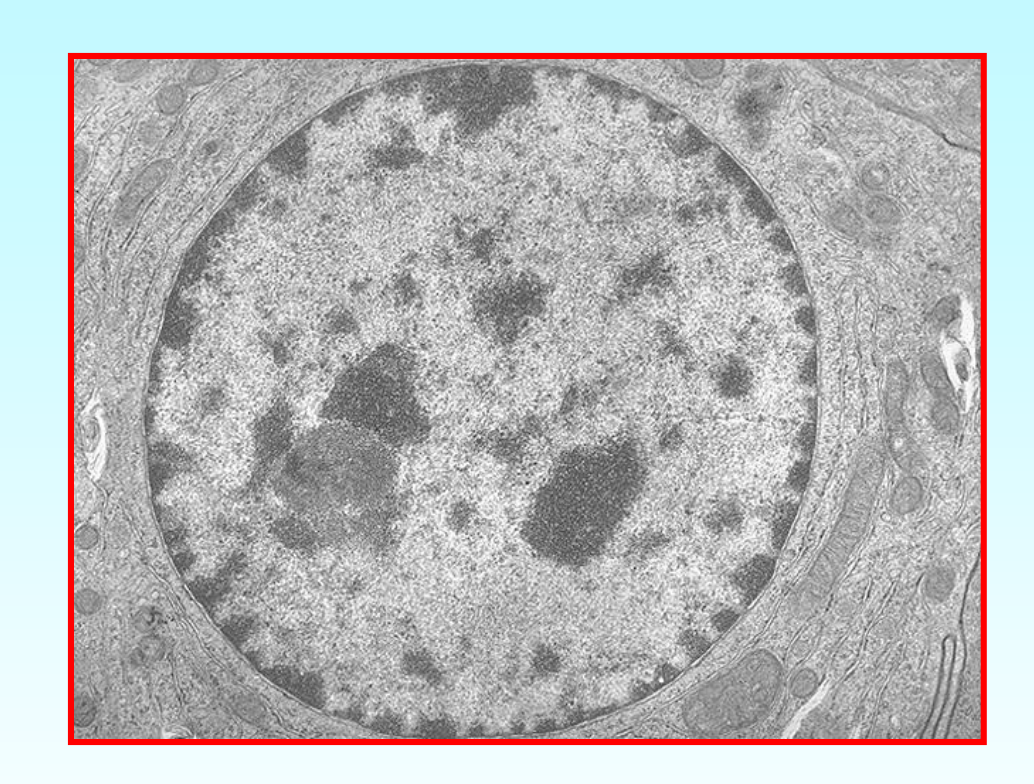
Euchromatin

Genetisch aktiv: Transkription

LiMi: Nur mäßig angefärbt

EM: Mäßig elektronendicht

Chromatin hat lockere Struktur



Heterochromatin

Konstitutives Heterochromatin

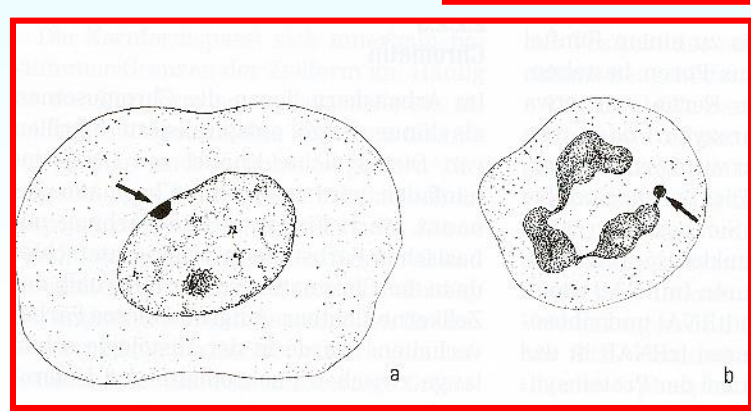
zentromernahe Bereiche

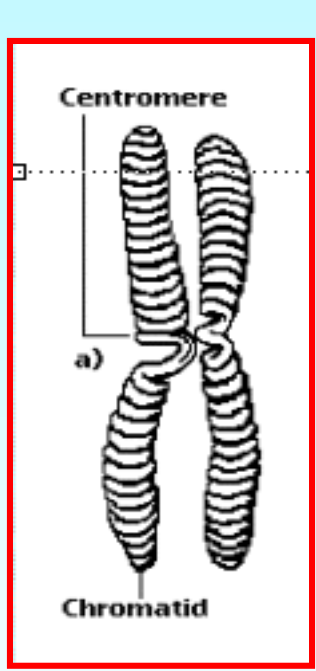
Fakultatives Heterochromatin

Barr-Körperchen

Drum sticks







Zellzyklus

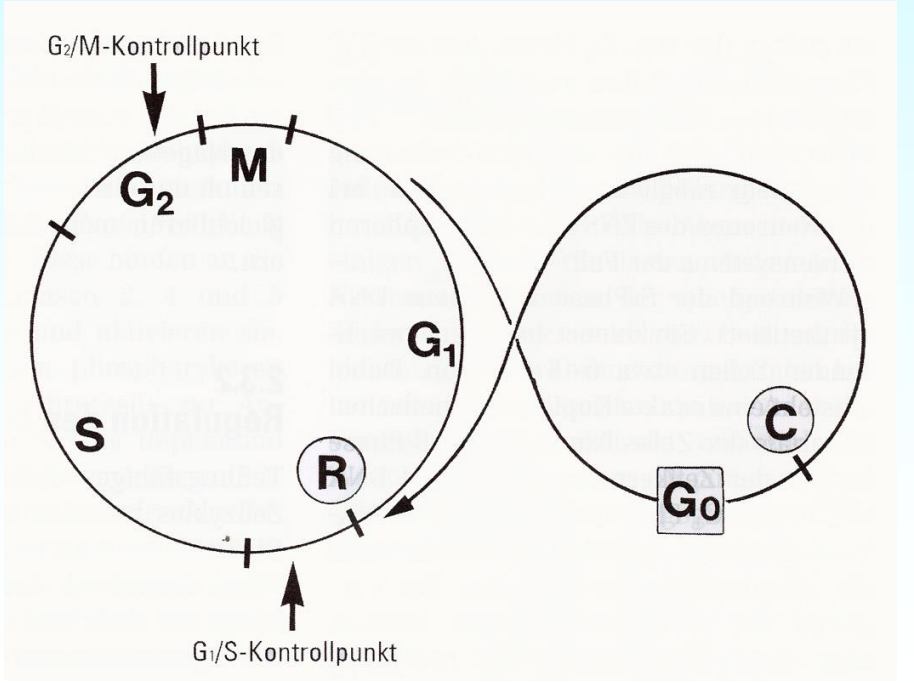
Interphase

G1-Phase ("gap": kein Thymidineinbau)

S-Phase (DNA-Synthese)

G2-Phase

Mitose (M-Phase)



Zellteilung

Mitose (indirekte Kernteilung)

Zytokinese

Äquale Zellteilung

Differentielle Zellteilung

Meiose

Zellmembran

Unit membrane

Flüssigkeits-Mosaik-Modell

Bimolekulare Lipidschicht

Phospholipide

Sterole

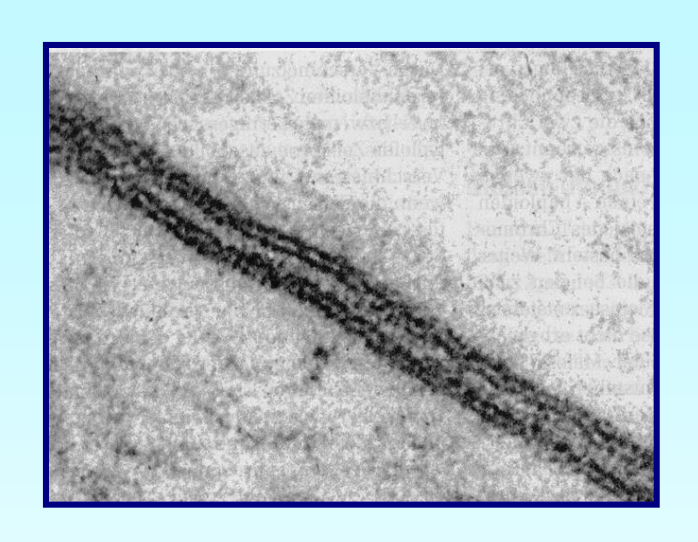
Glykolipide

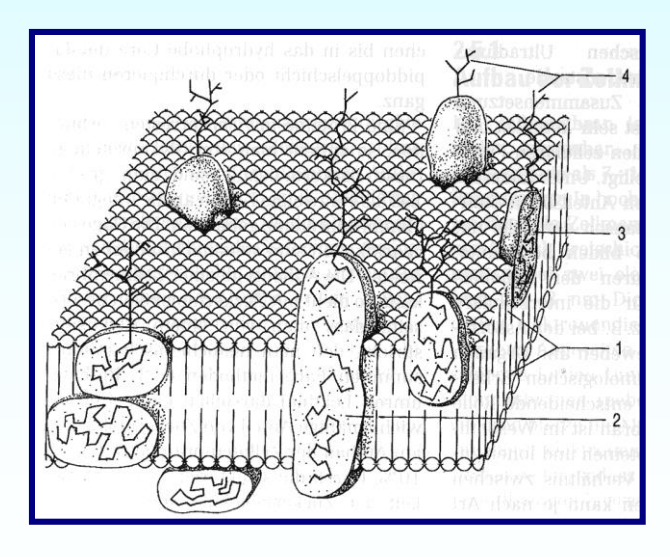
Proteine

Integrale Membranproteine

Periphere

Suprastruktur





Differenzierung der apikalen Zellmembran

Mikrovilli (100 nm Durchmesser)

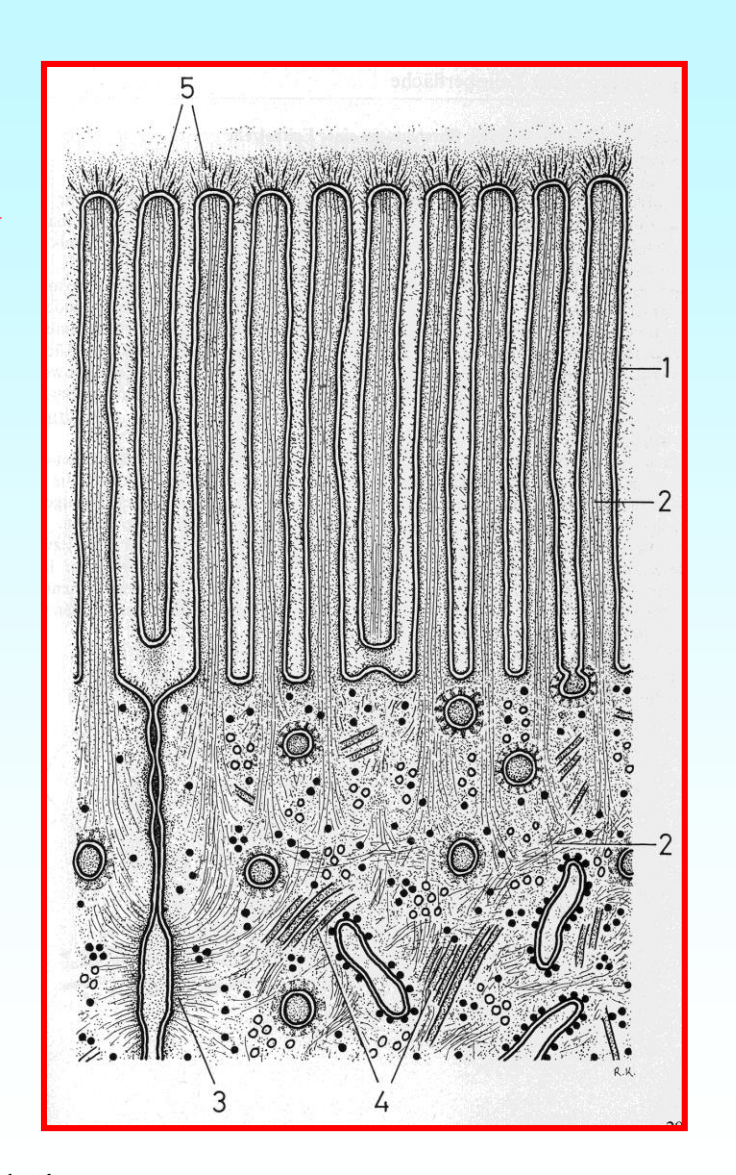
Ausstülpungen der Zellmembran

Aktinfilamente

Enzyme

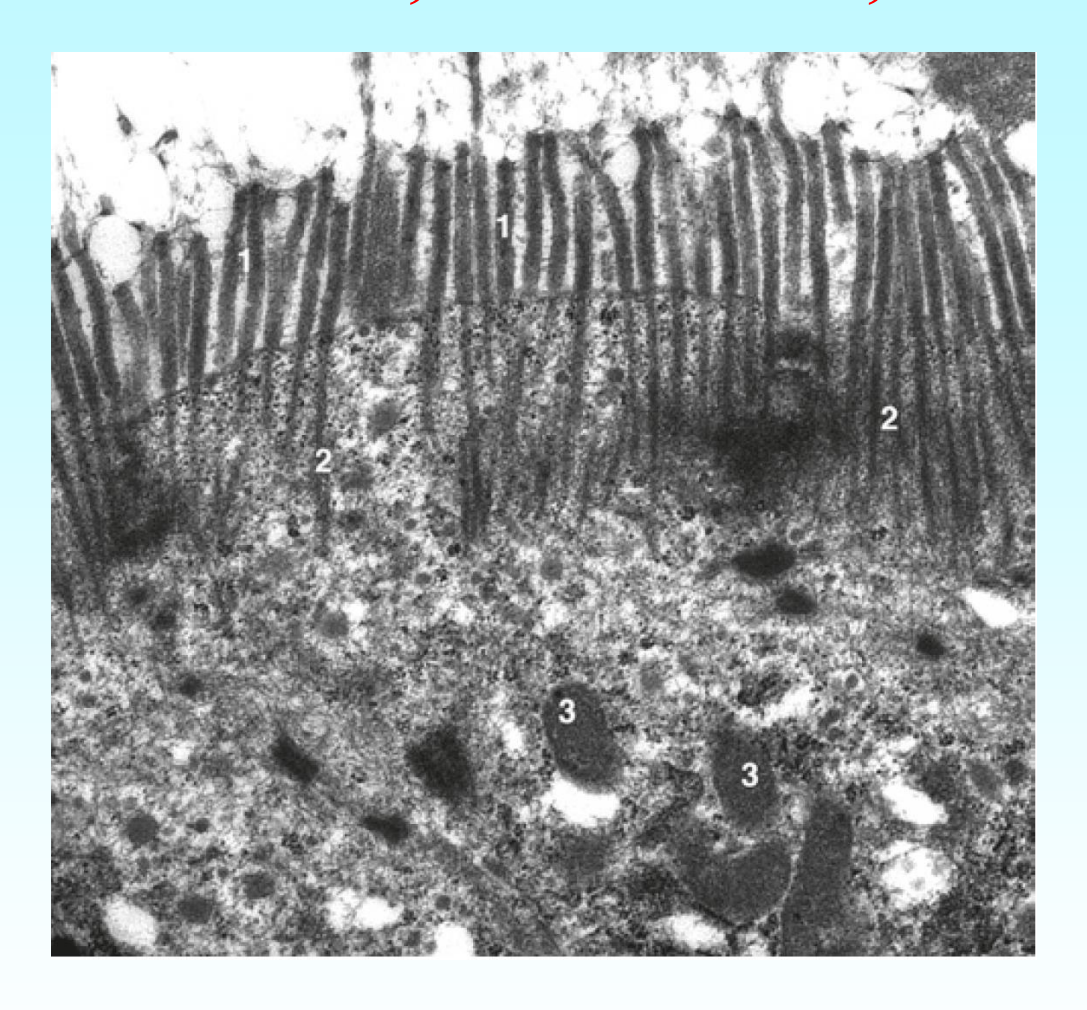
Bürstensaum: Resorption





Daniela Rodler und Fred Sinowatz

Mikrovilli, Dünndarm, Rind

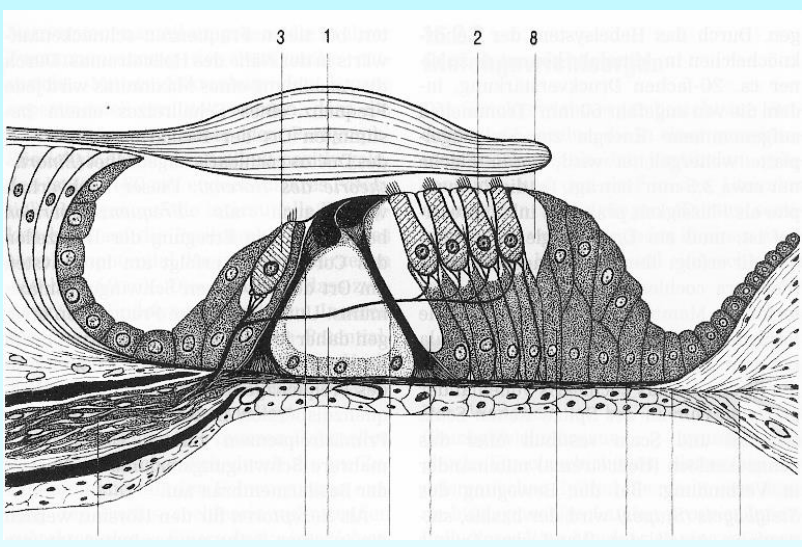


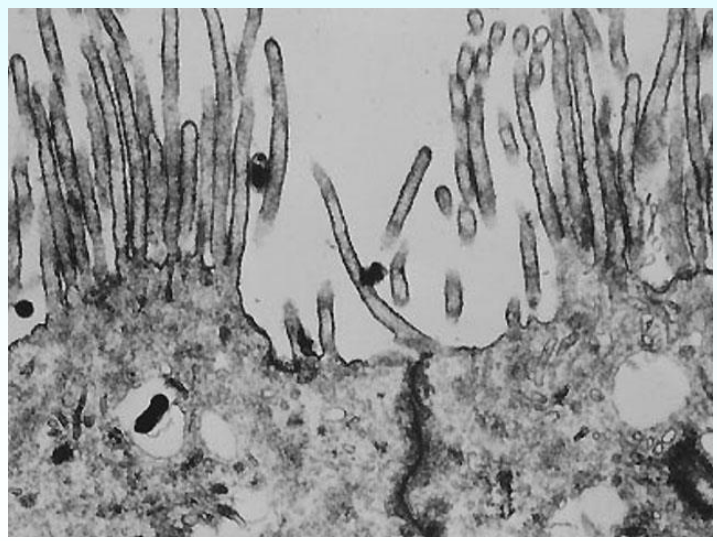
Fimbrin Villin

Terminal web aus Actin-Filamenten

Stereozilien







Unbeweglich Lange Mikrovilli

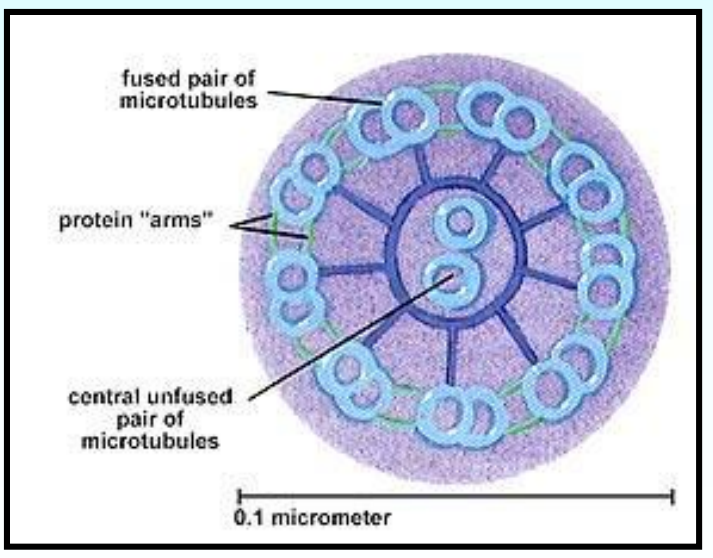
Nebenhoden

Kinozilien

Bewegliche Zellfortsätze

Basalkörperchen

Wurzelfasern





Eileiter Bronchialepithel

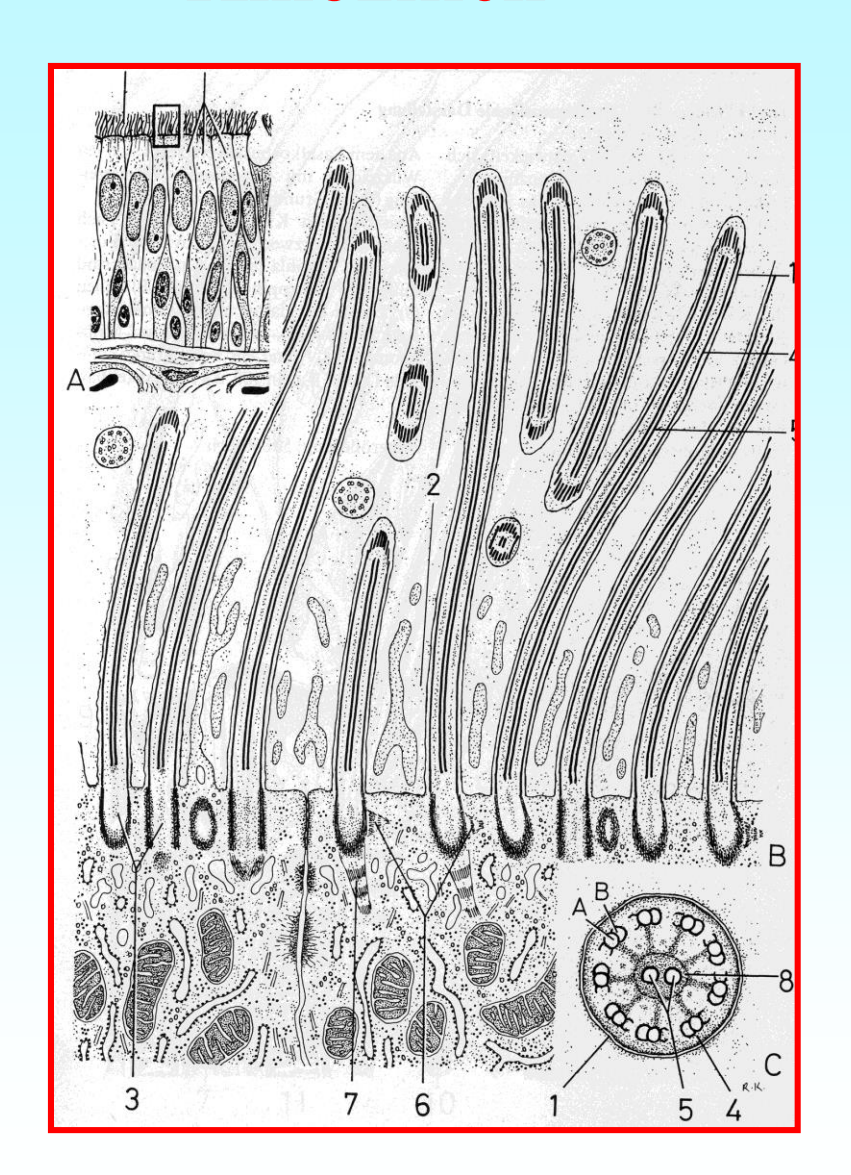
Kinozilien

9 x 2+2 Struktur

A-Tubulus

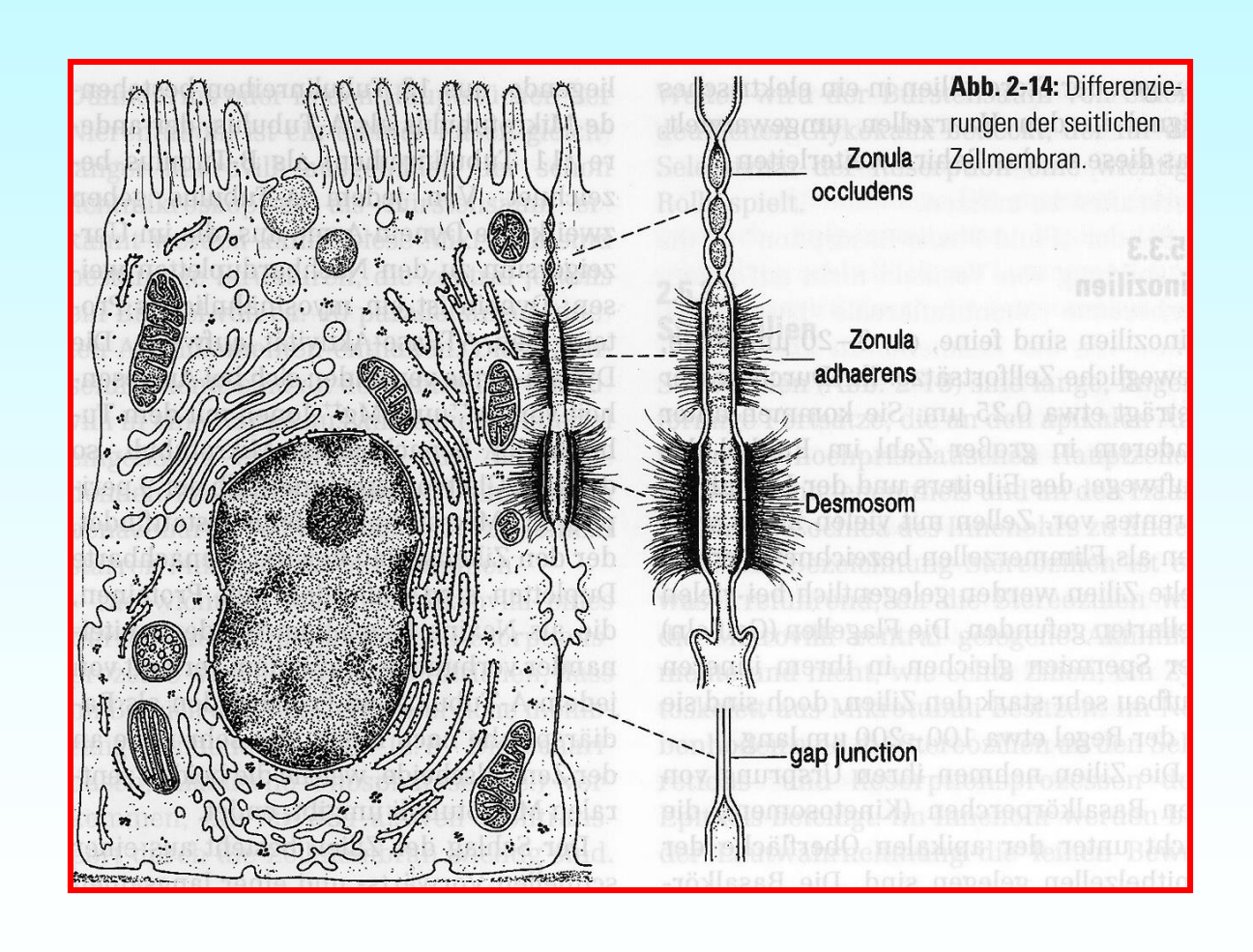
B-Tubulus

Dyneinarme



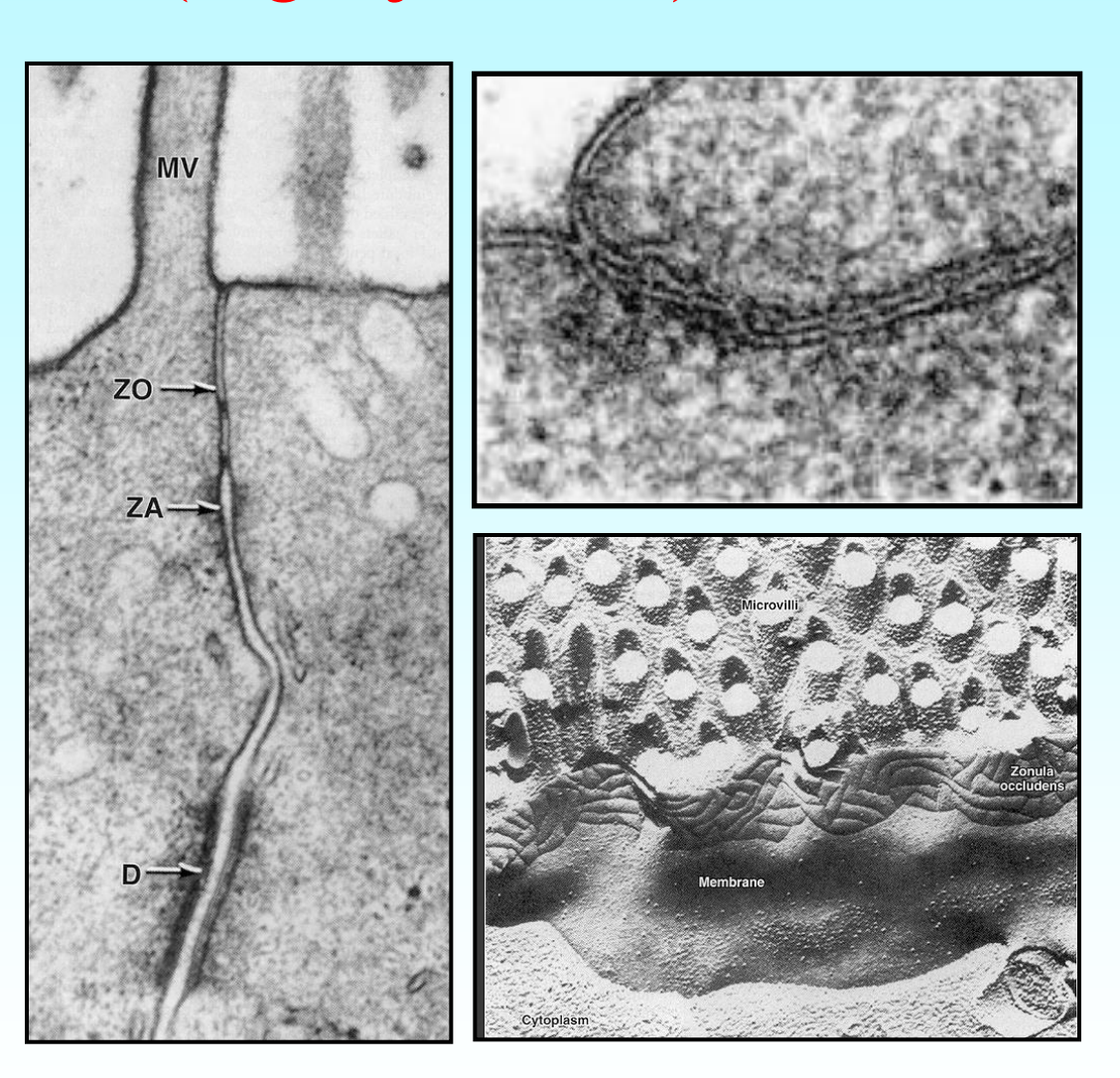
Daniela Rodler und Fred Sinowatz

Differenzierungen der seitlichen Zellmembran



Zonula occludens (Tight junction)

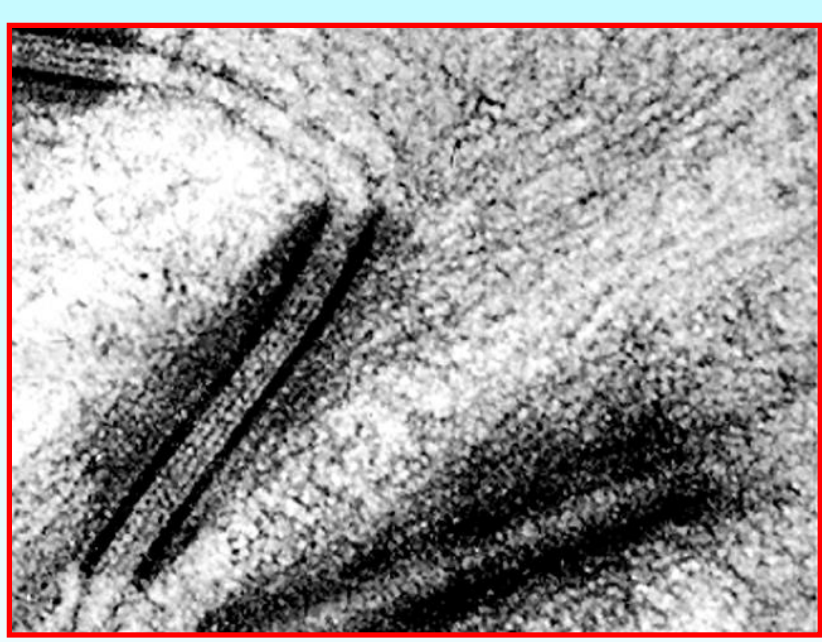
Barrierefunktion
Pentalaminare Struktur



Macula adhaerens (Punktdesmosom)



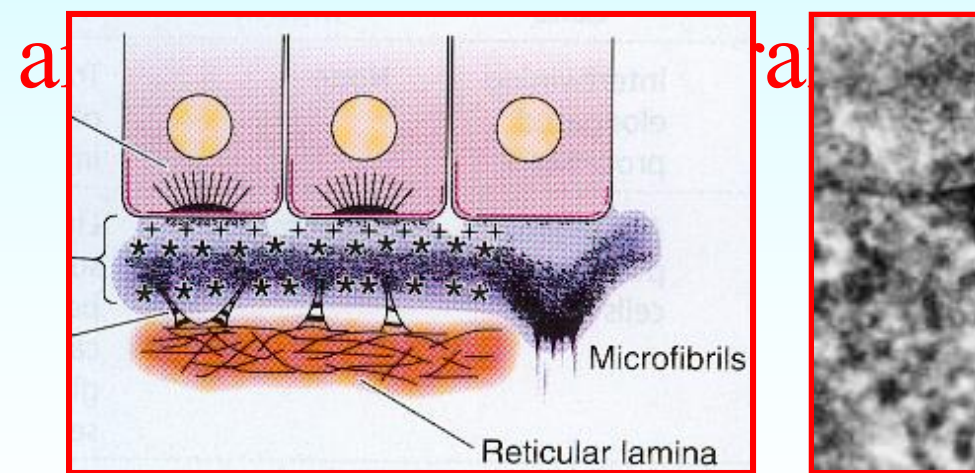


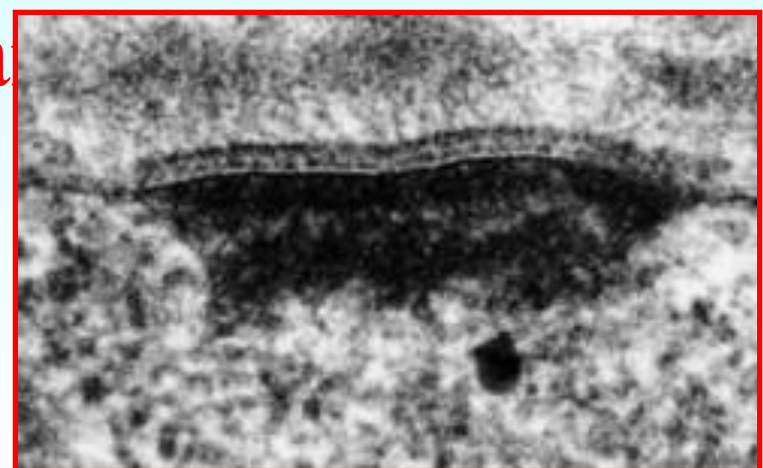


Daniela Rodler und Fred Sinowatz

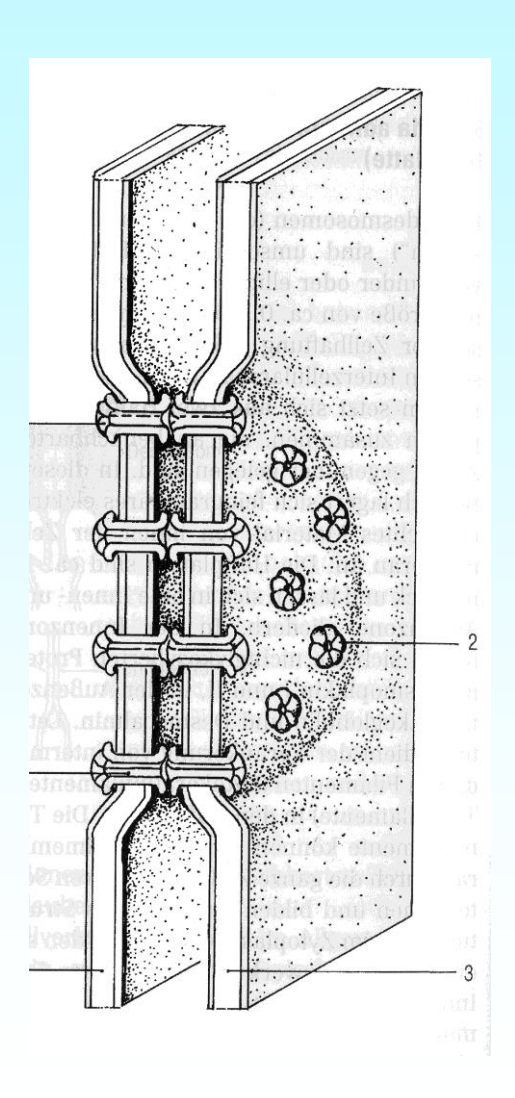
Hemidesmosom

Nur eine Desmosomenhälfte ausgebildet





Nexus (Gap junctions)



Praktisch ubiquitär (außer:

Skelettmuskulatur, freie

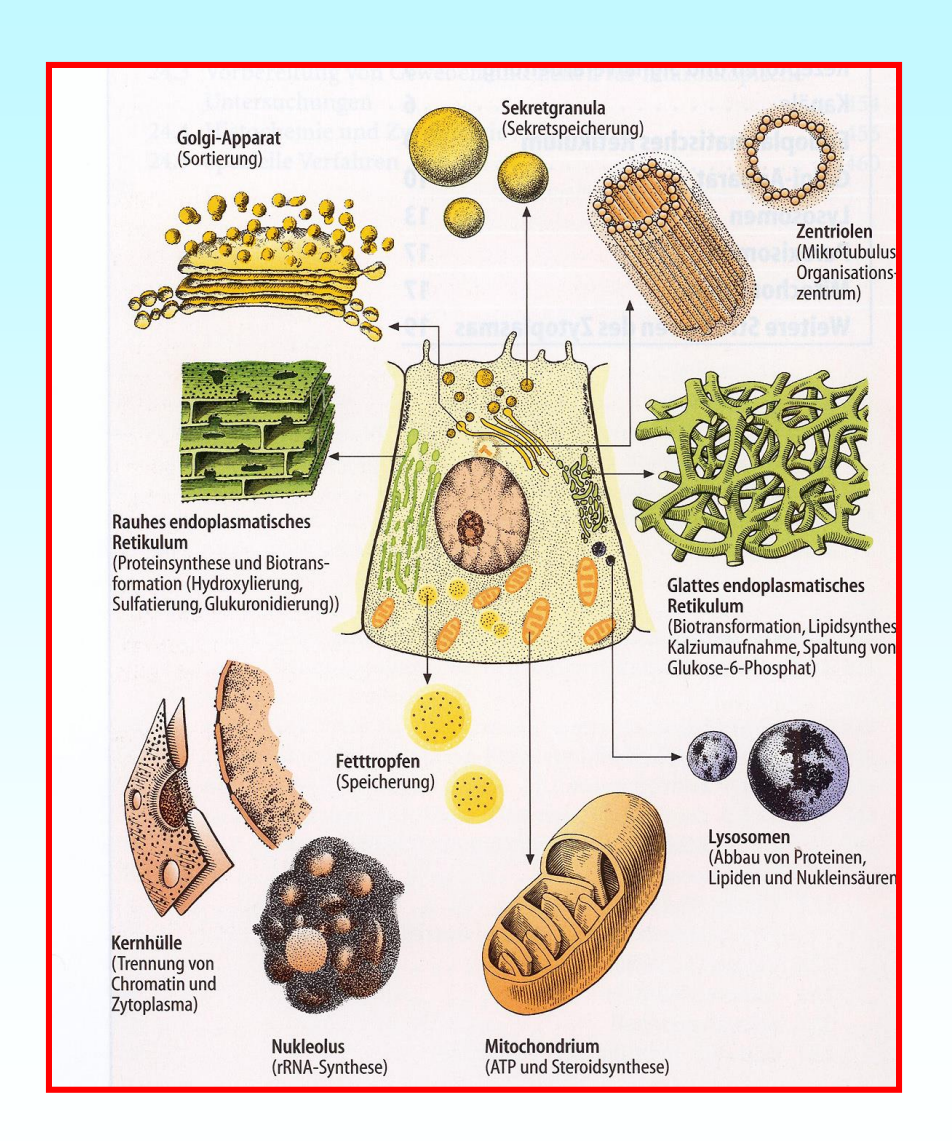
Zellen

Kommunikative Verbindung

Aufgebaut aus Konnexonen

Dienen der metabolischen und ionalen Kopplung

Zytoplasma



Hyaloplasma

(Grundplasma), homogene

Matrix

Zellorganellen

Membranbegrenzte

Zellorganellen

Nicht membranbegrenzte

Zellorganellen

Metaplasmatische

Strukturen

Paraplasma: Reserve- und

Speicherstoffe

Mitochondrien

Mitochondrien vom Cristae-Typ Mitochondrien vom Tubulus-Typ

Energieproduzenten

Aufbau

Äußere Membran

Innere Membran

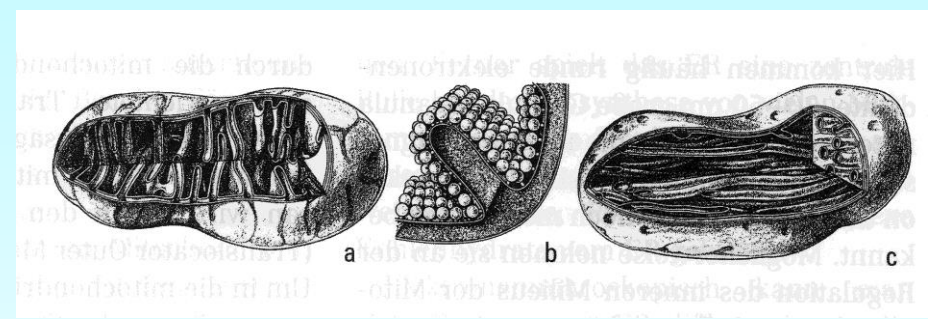
Atmungskette

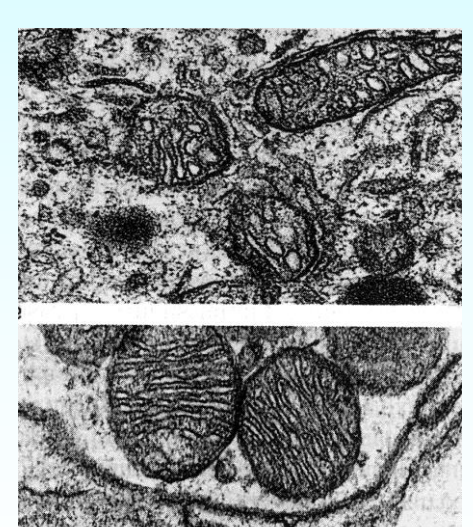
Oxidative Phosphorylierung

Mitochondrienmatrix

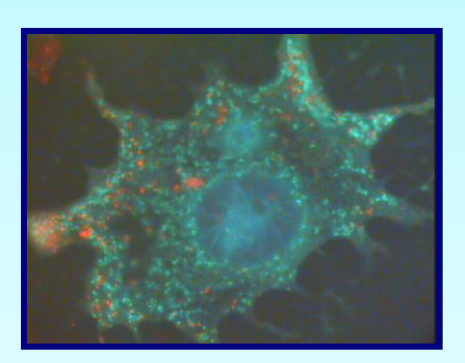
Zitronesäurezyklus

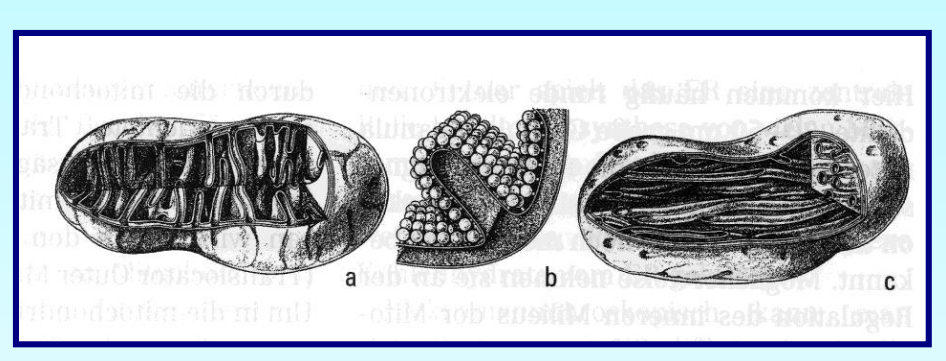
Fettsäureabbau

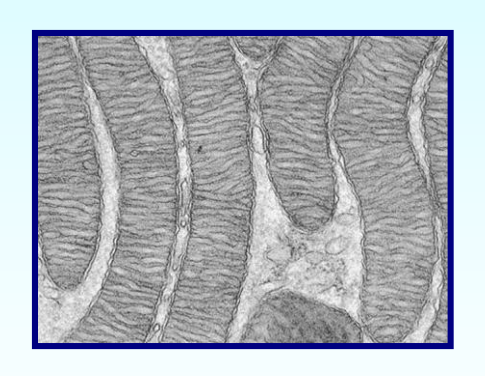


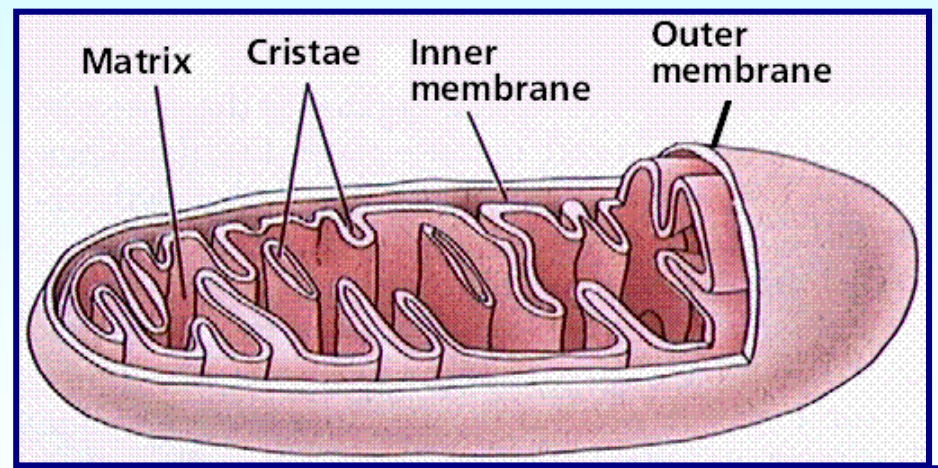


Mitochondrien









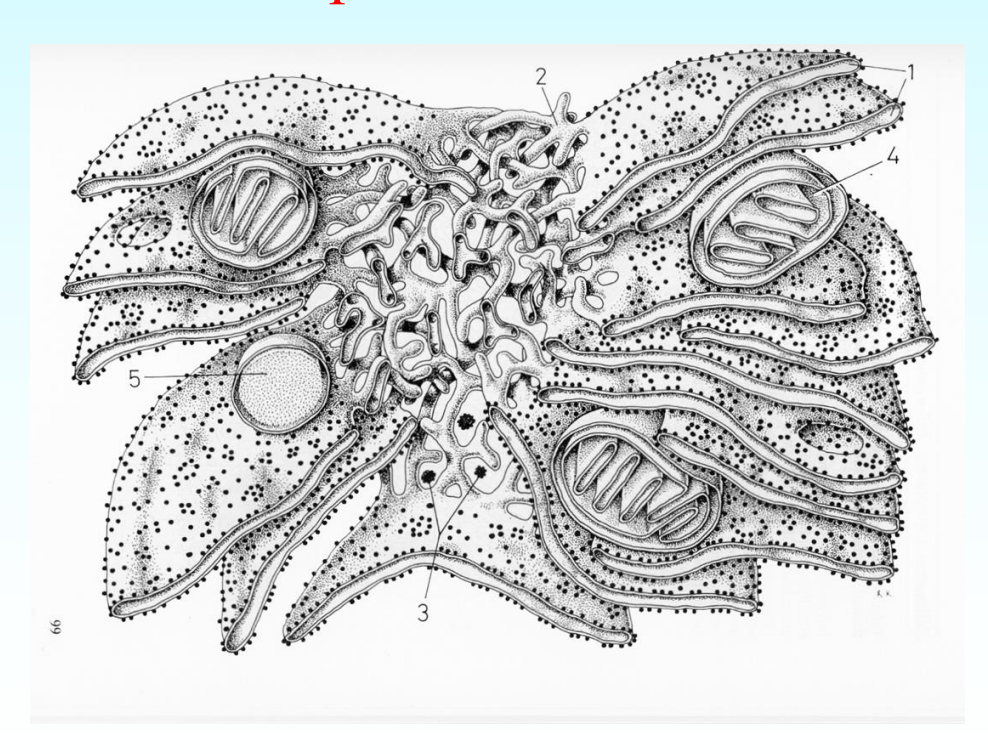
Eigene DNA
Eigene Ribosomen

Symbiontische Bakterien Maternale Vererbung

Endoplasmatisches Reticulum

Intrazelluläre Kompartimentierung

- Glattes endoplasmatisches Retikulum
- Raues endoplasmatisches Retikulum mit Ribosomen



Daniela Rodler und Fred Sinowatz

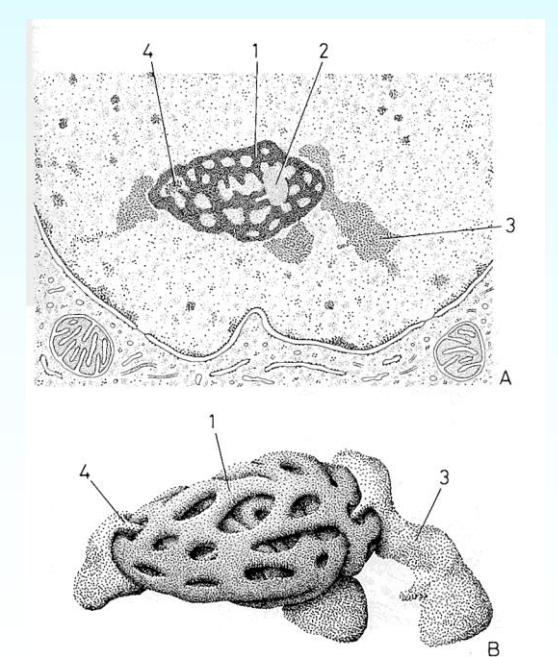
Ribosomen

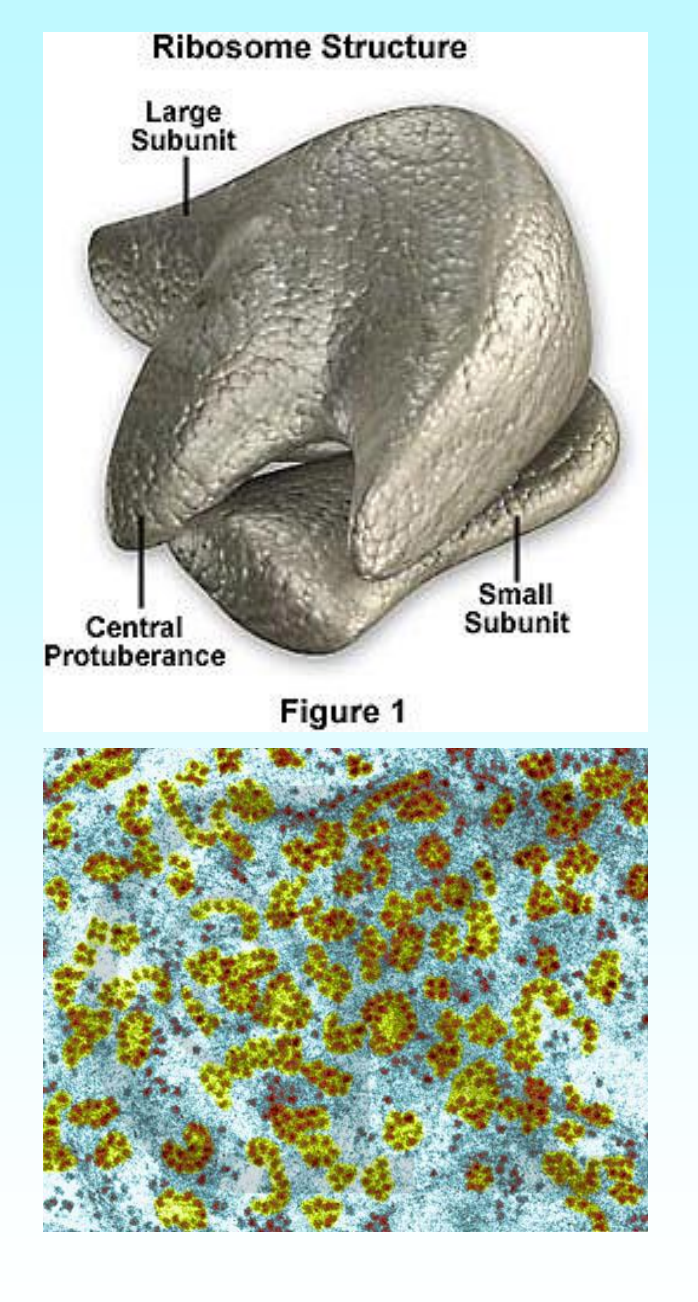
Große Untereinheit (60S)

Kleine Untereinheit (40S)

Im Nucleolus gebildet, im

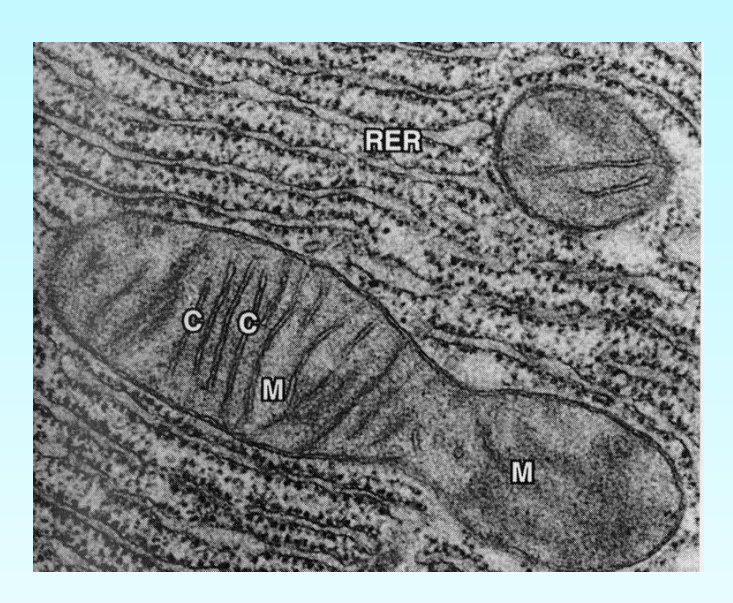
Zytoplasma zusammengesetzt

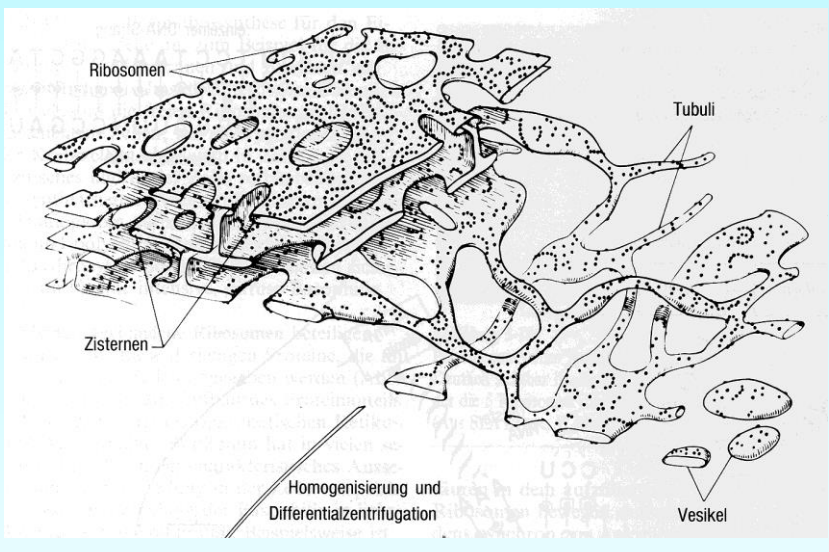




Polyribosomen: Proteinsynthese

Raues Endoplasmatisches Reticulum

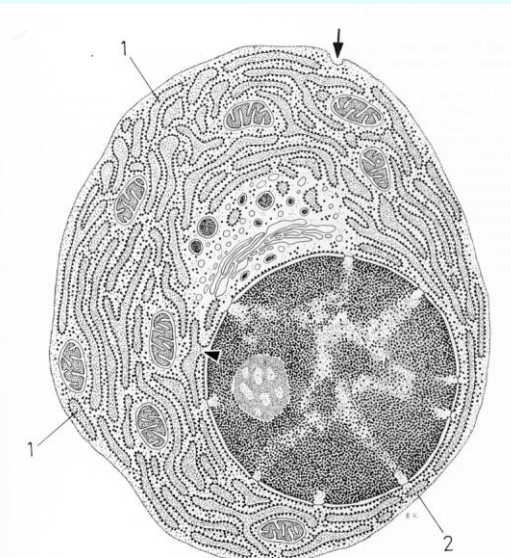




Raues ER

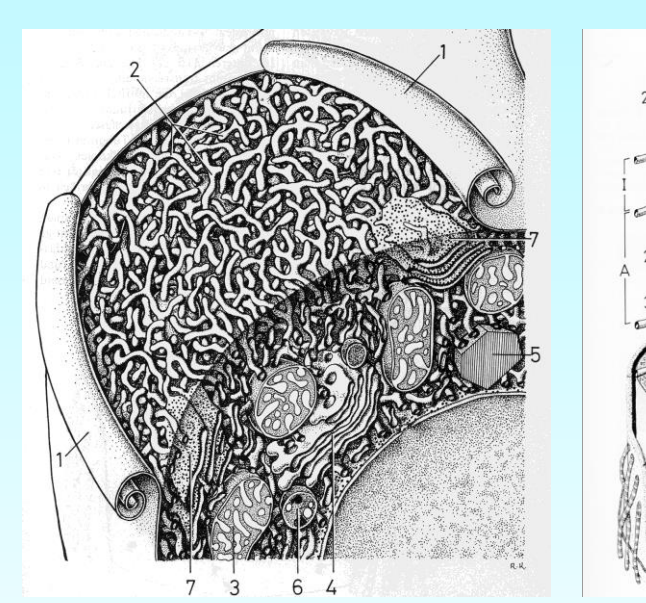
basophil, Ergastoplasma

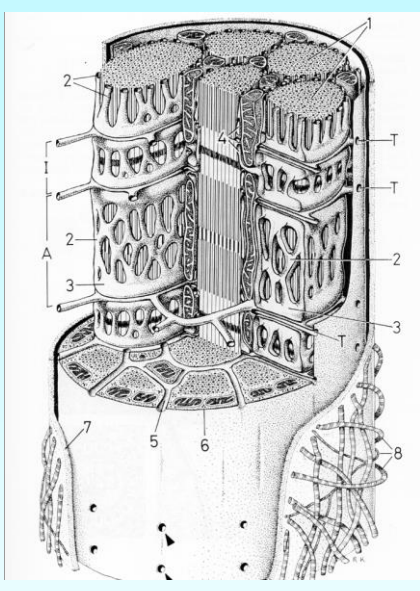
Proteinsynthese: Exportproteine



Plasma-Zelle

Glattes Endoplasmatisches Reticulum





Glattes ER

komplex Lipide und Steroidhormone

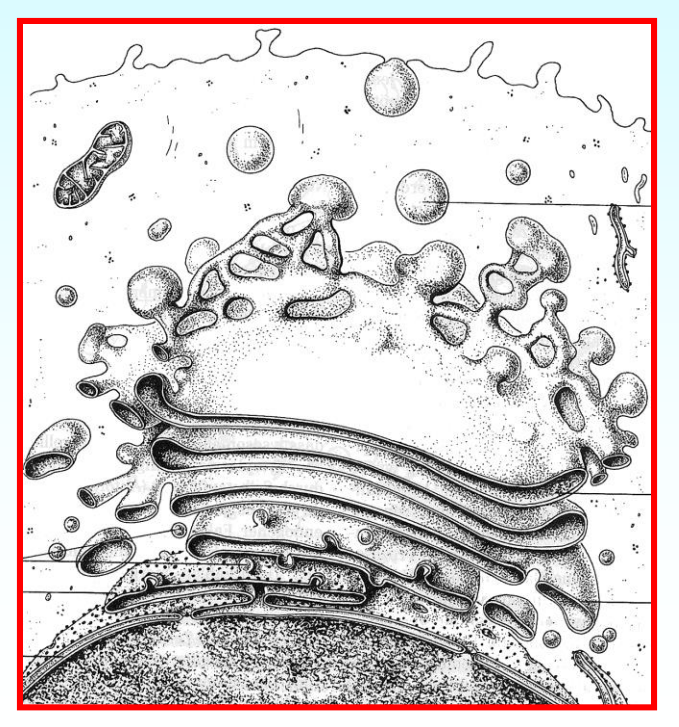
Speicher für Ca²⁺-Ionen

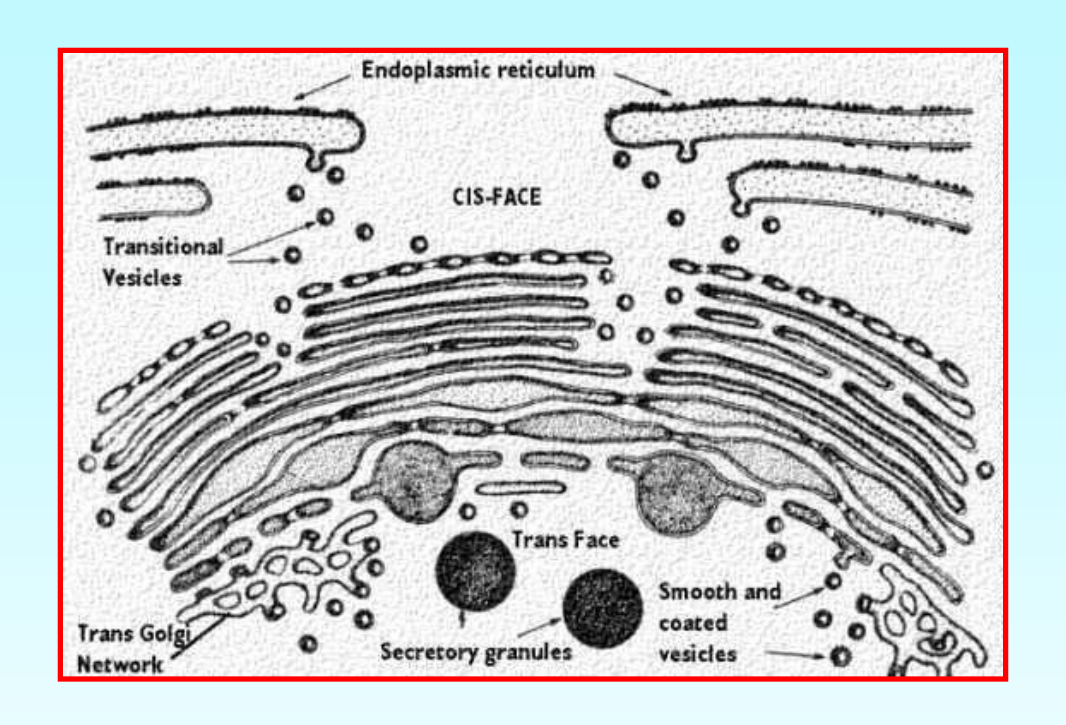
Glykogensynthese

Golgi-Apparat

Dictyosomen

Stapel von Zisternen und Vesikel cis-Seite und trans-Seite



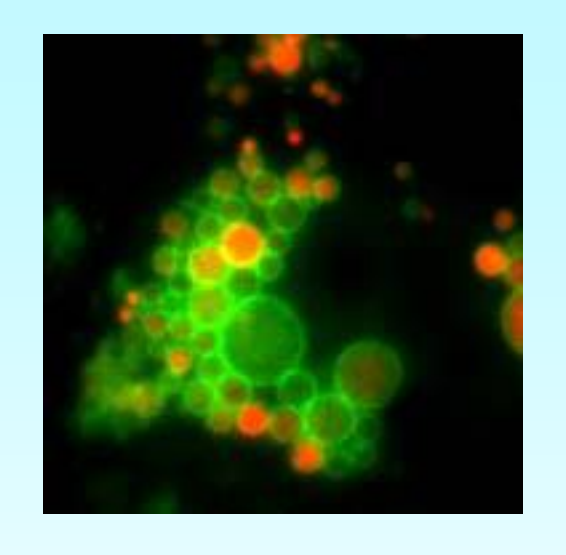


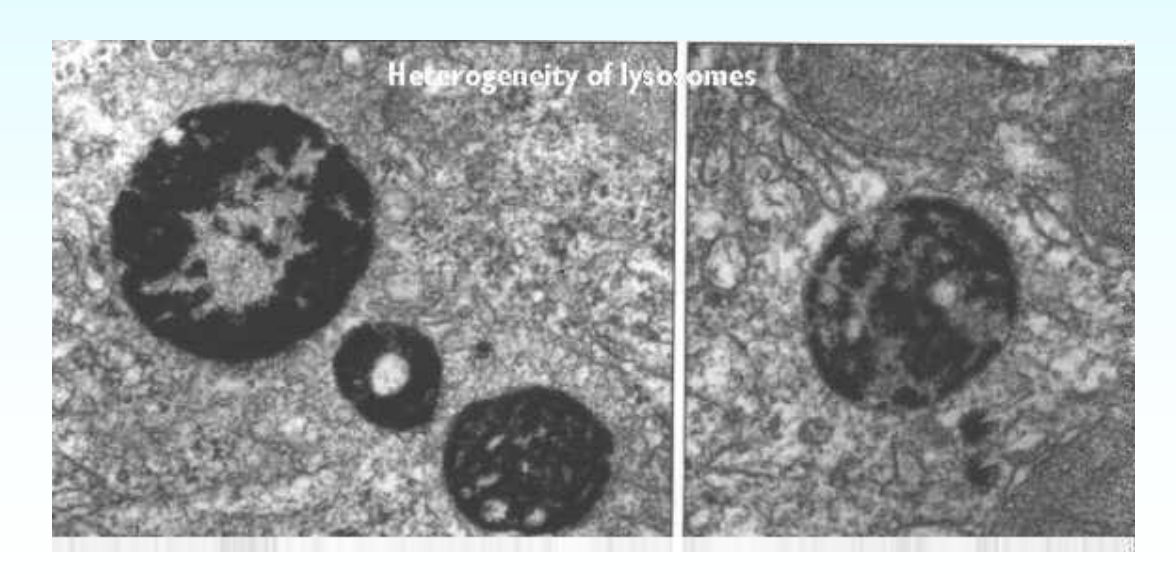
Lysosomen

Intrazelluläres Verdauungssystem

Hydrolytische Enzyme

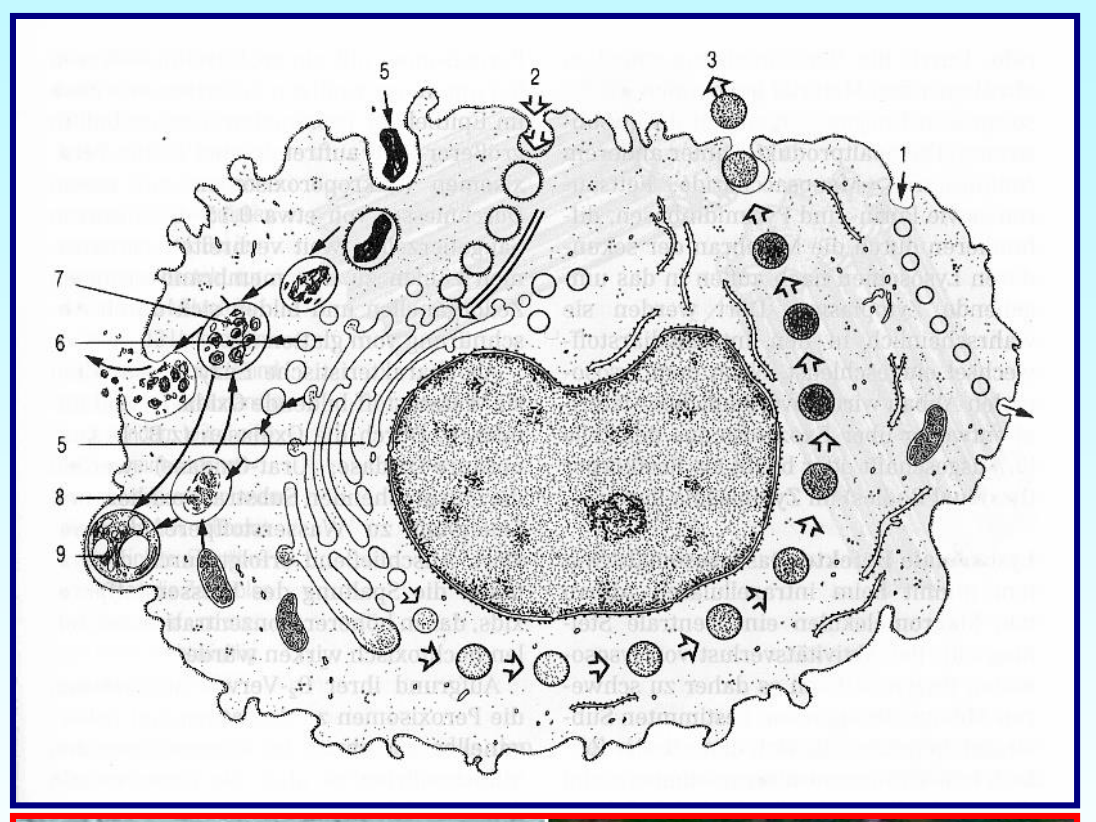
Leitenzym: Saure Phosphatase





Daniela Rodler und Fred Sinowatz

Lysosomen





Primäre

Lysosomen

Sekundäre

Lysosomen

Autolysosomen

Heterolysosomen

Restkörper

Peroxisomen

Enzyme: Oxidasen, Katalase

Funktionen

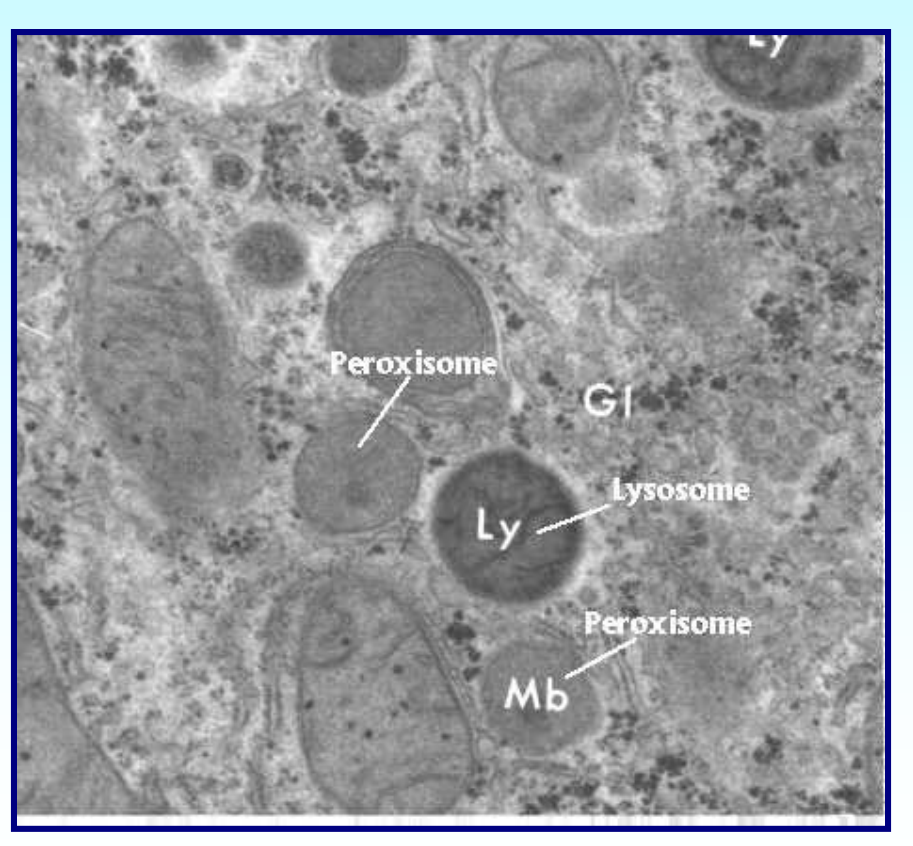
Fettstoffwechsel

Gluconeogenese

Entgiftung

Zellweger-Syndrom

Fehlen der Peroxisomen



Zerebral-hepatisch-renales Syndrom

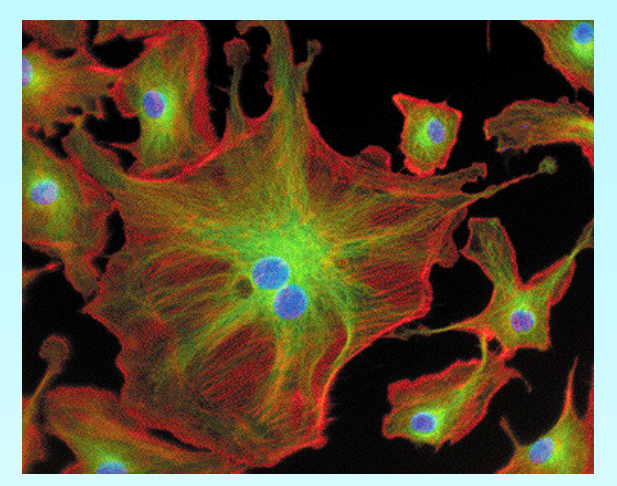
Zentriol

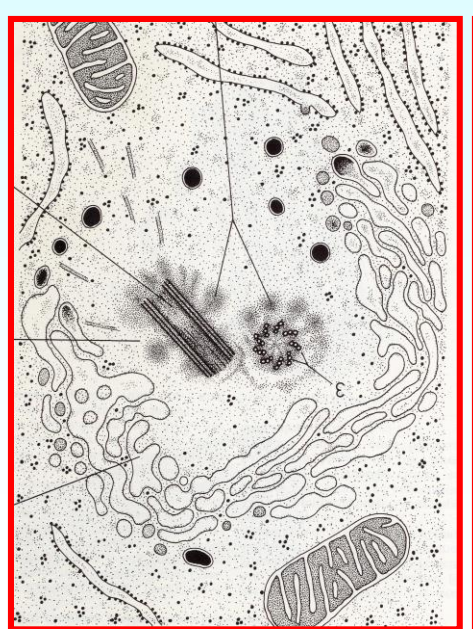
Mikrotubuli: 9 x 3 Struktur

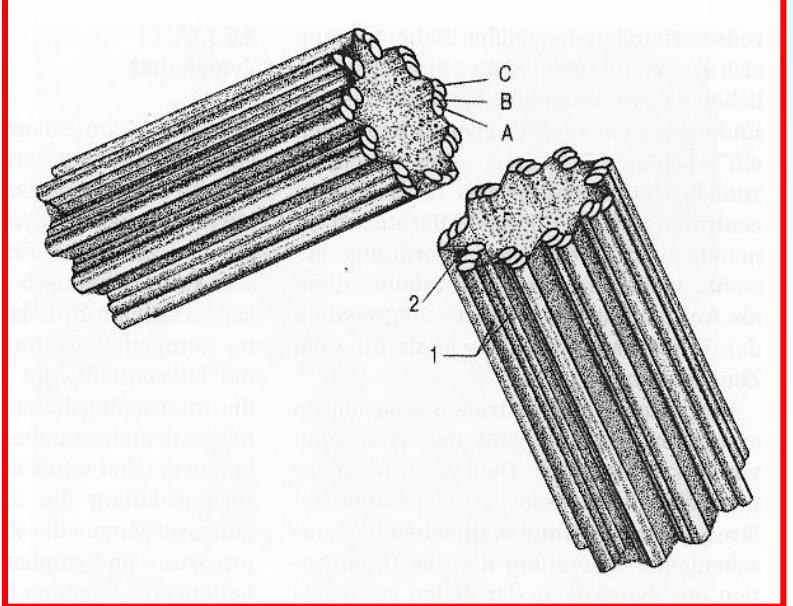
Perizentrioläres Material

Zellteilung

Organisation des Zytoskeletts







Daniela Rodler und Fred Sinowatz

Metaplasma

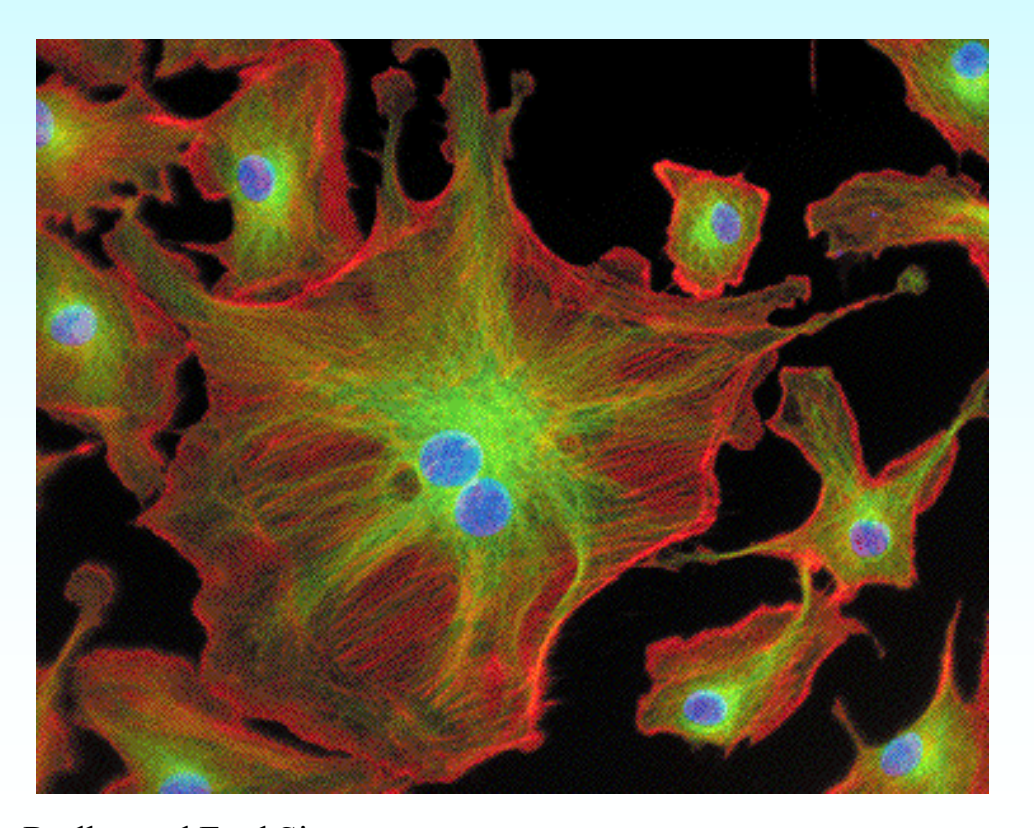
"Berufsstrukturen" der Zelle

Zytoskelett:

Aktin

Mikrotubuli:

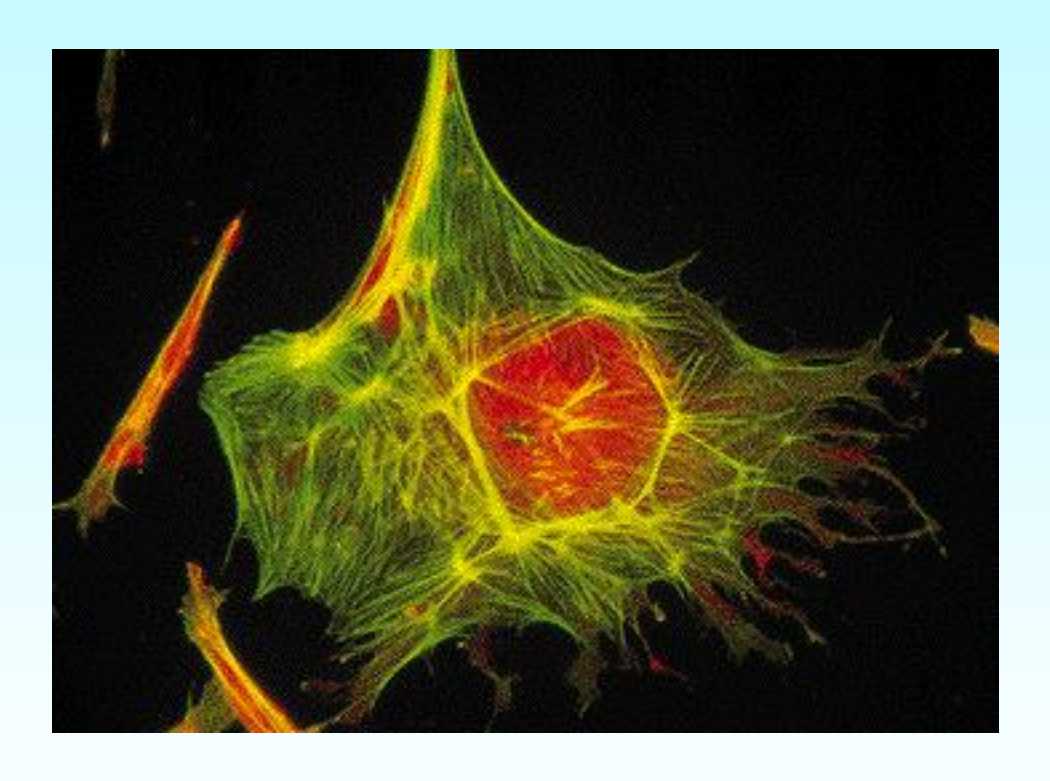
Intermediärfilamente:



Daniela Rodler und Fred Sinowatz

Aktin-Filamente

Mikrofilamente: Durchmesser 5-7 nm



Aktin G Aktin F

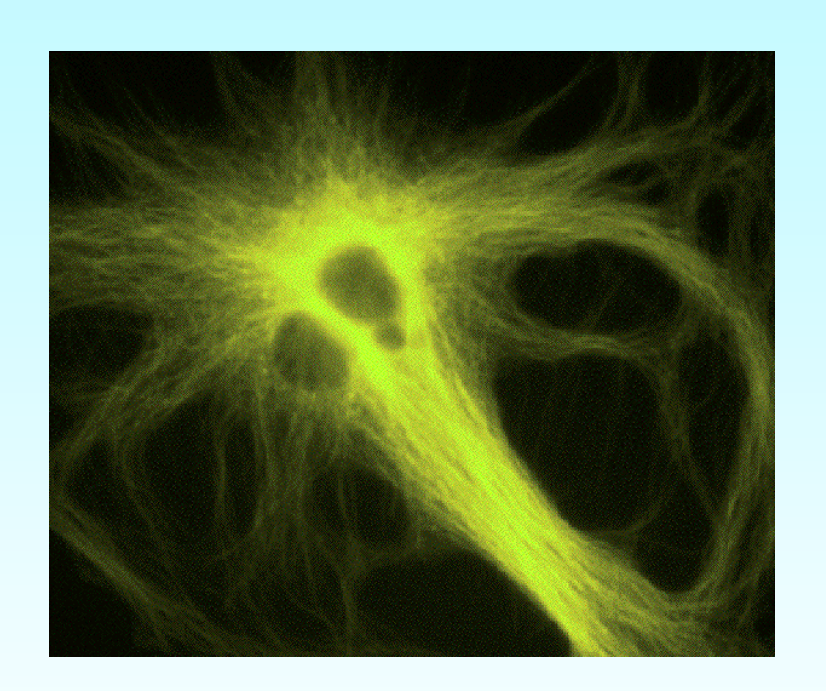
Aktin-Myosin

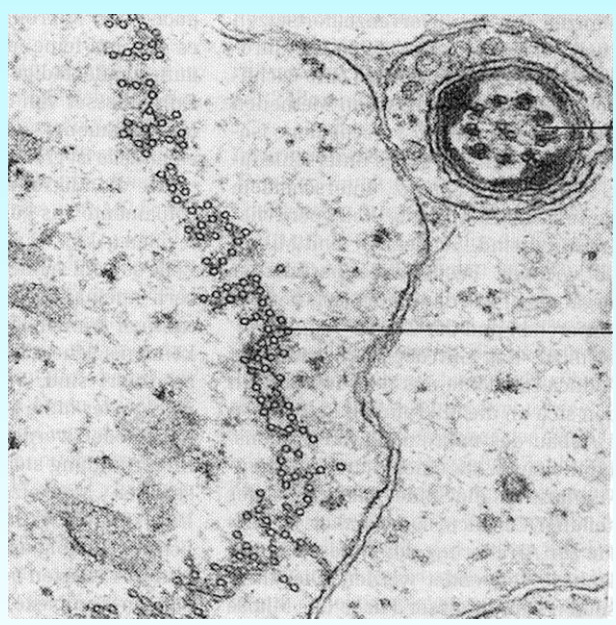
Aktin-bindende Proteine

Filamin: Gelzustand des Zytoplasmas

Gelsolin: Trennung der Aktinfilamente

Mikrotubuli





Durchmesser 24 nm
Tubulin, 13 Protofilamente

Intermediärfilamente

Durchmesser 8-10 nm

Faserige Polypeptide

Stabilste Komponente des Zytoskeletts

Chemisch unterschiedlich

Zytokeratine

Vimentin

Desmin

Neurofilamente



Zytoskelett

	Durchmesser	Protein	Vorkommen
Aktinfilamente	6 nm	G-Aktin	In allen Zellformen
Intermediäre Fila	mente		
Klasse I	8–11 nm	Saure Keratine	Epithelzellen, Derivate der Epidermis
Klasse II	8–11 nm	Basische Keratine	Epithelzellen
Klasse III	8–11 nm	Vimentin	Viele mesenchymale Zellen
	8–11 nm	Desmin	Muskelzellen
	8-11 nm	Glial Fibrillary Acidic Protein	Astrozyten
Klasse IV	8-11 nm	Neurofilamentäres Tripletprotein	Nervenzellen
Klasse V	8–11 nm	Nukleäre Lamine	Zellkern
Mikrotubuli	25 nm	Tubu <mark>l</mark> in, Dimer aus α-, β-Tubulin	In allen Zellformen im Zentriol, als Bestandteil der Mitosespindel, in Zilien und Basalkörperchen

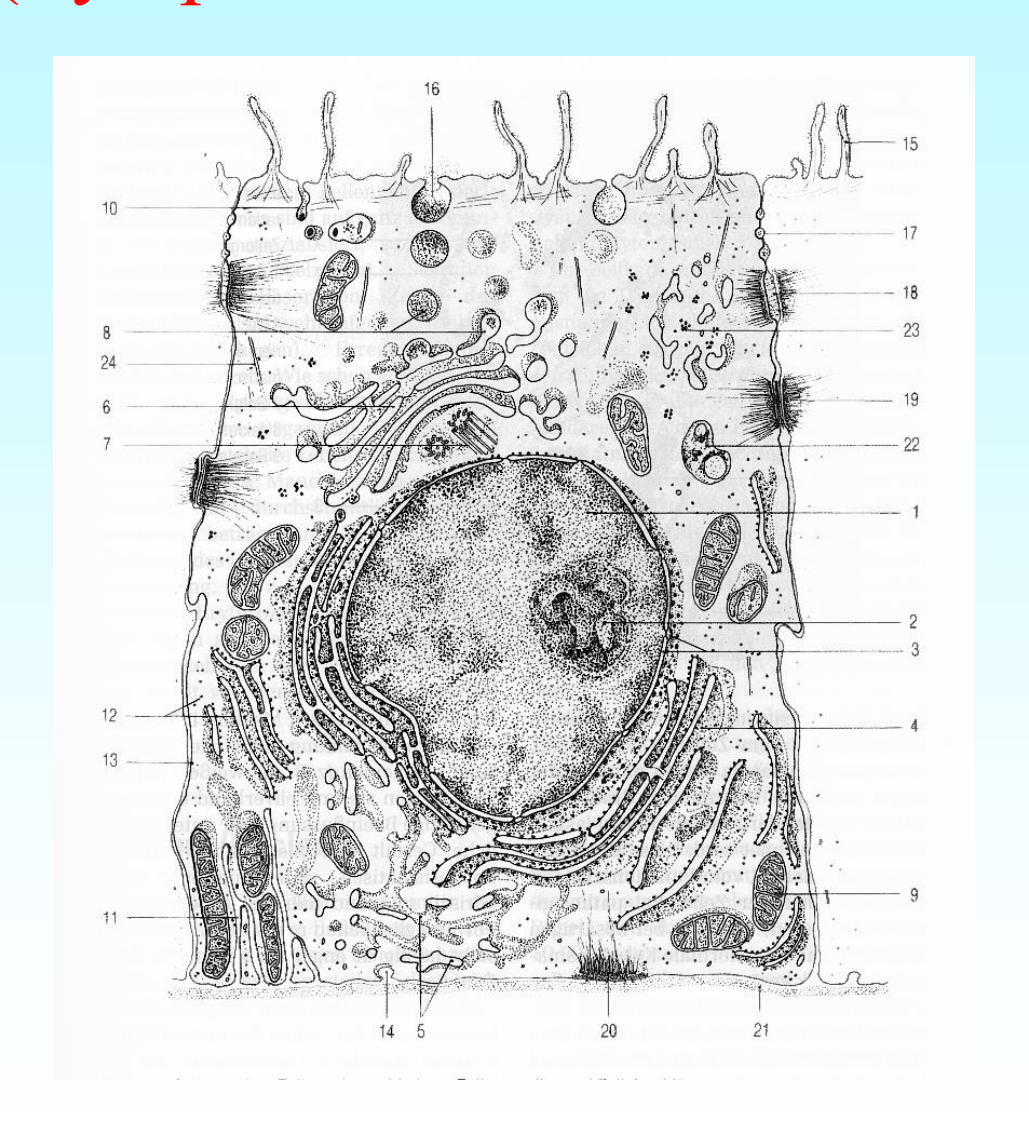
Paraplasma (Zytoplasmatische Einschlüsse)

Sekretgranula

Glykogen

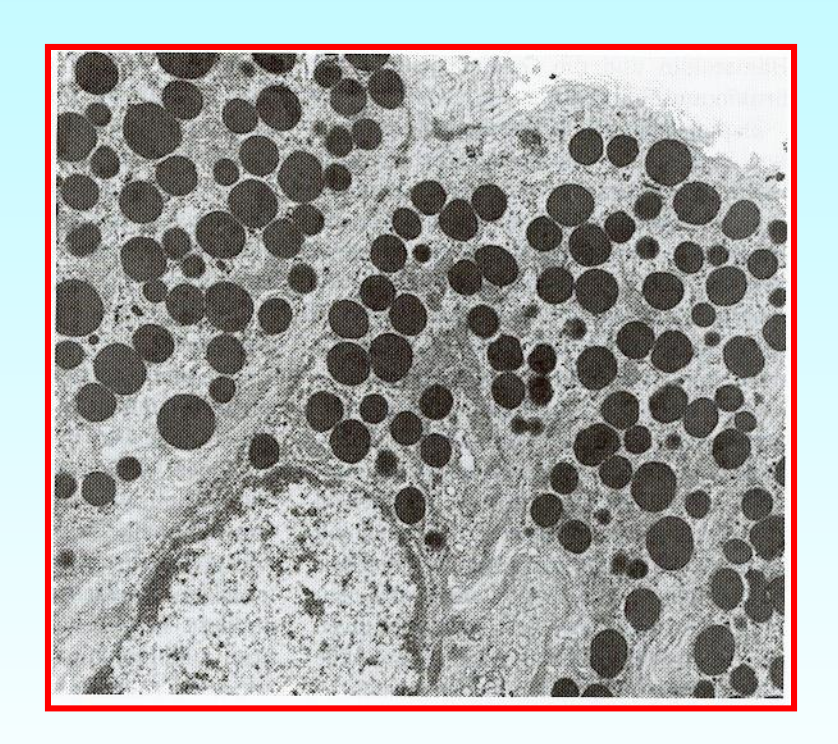
Lipidtropfen

Pigmente

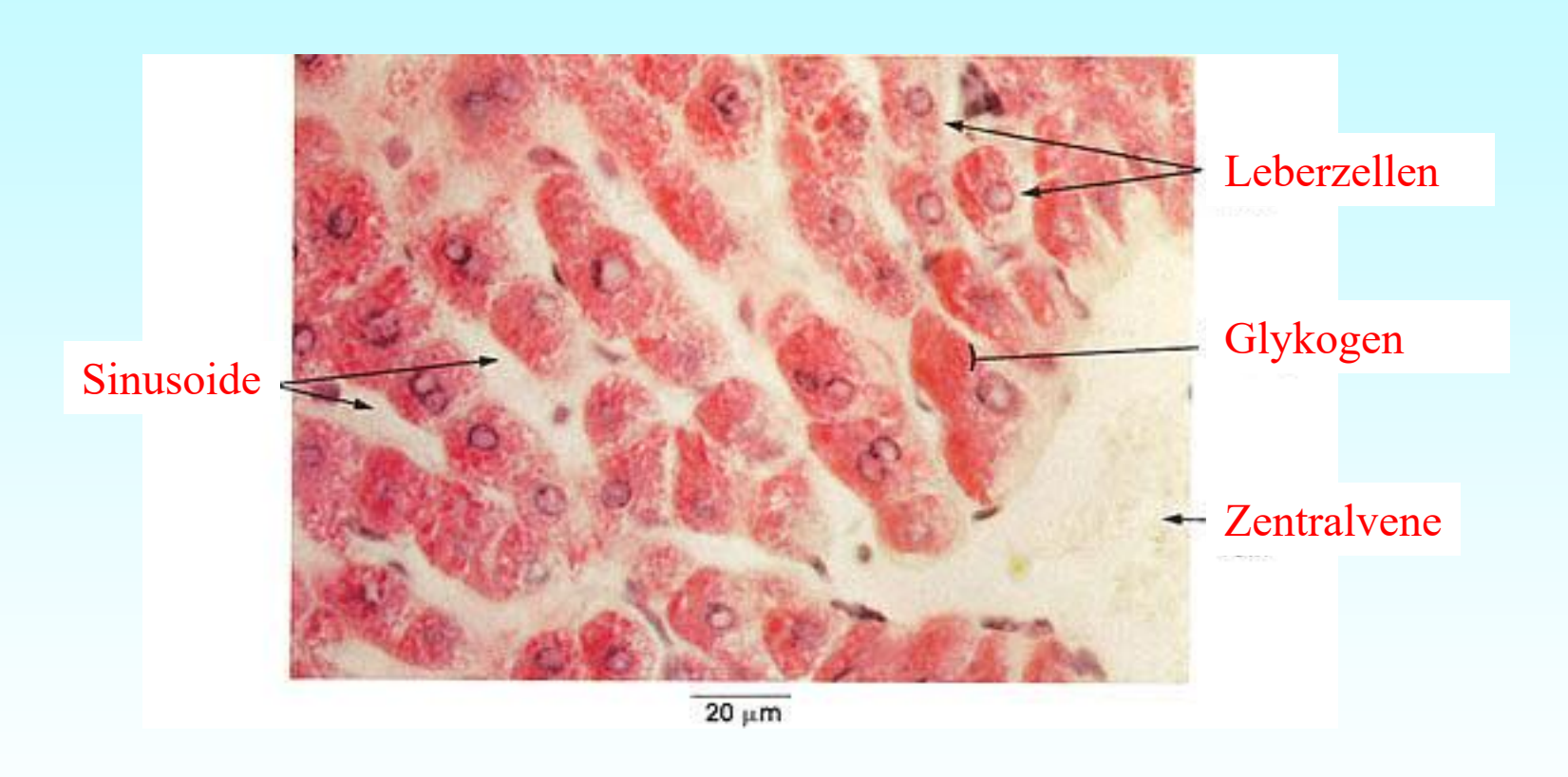


Daniela Rodler und Fred Sinowatz

Sekretgranula

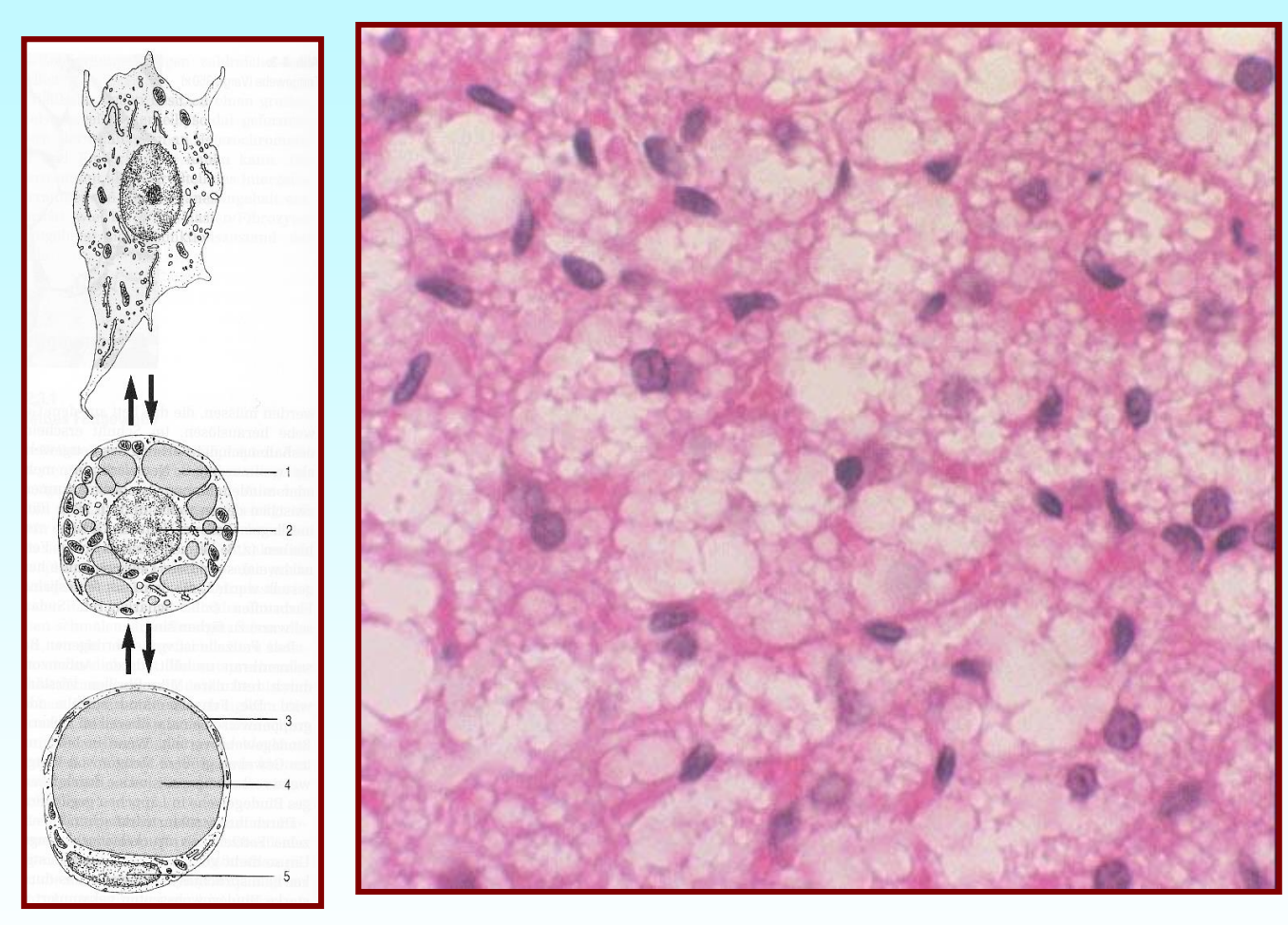


Glykogen



PAS-Reaktion (Perjodsäure-Schiff-Reaktion

Lipidtropfen



Gefrierschnitte

Sudan III-Rot, Osmiumtetroxid

Pigmente

Endogene



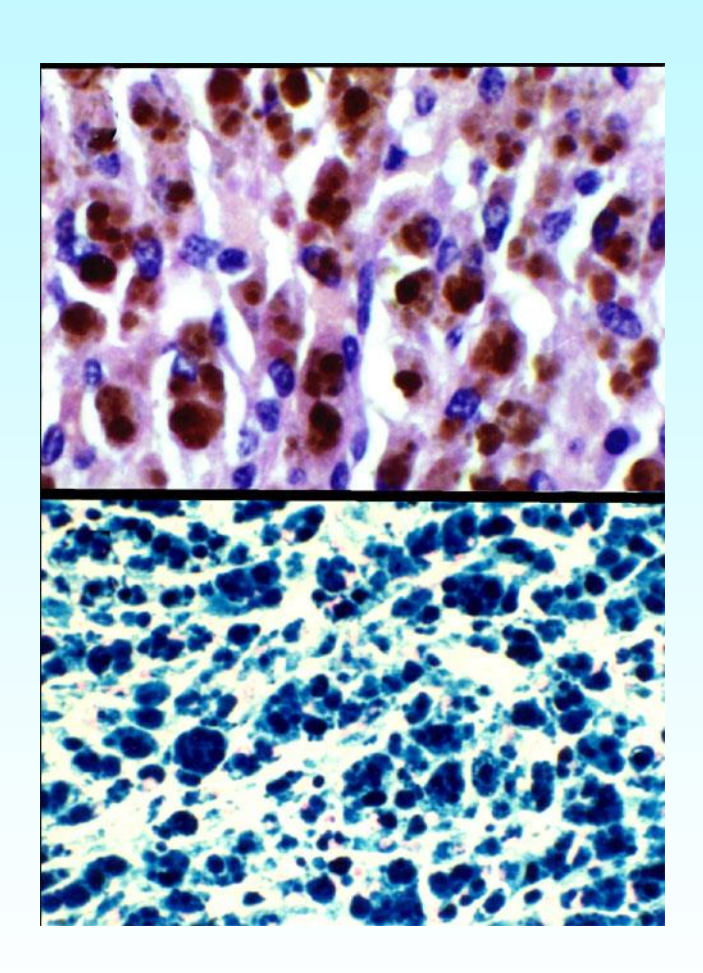






Melanin





Hämosiderin

Pigmente

Exogene Pigmente

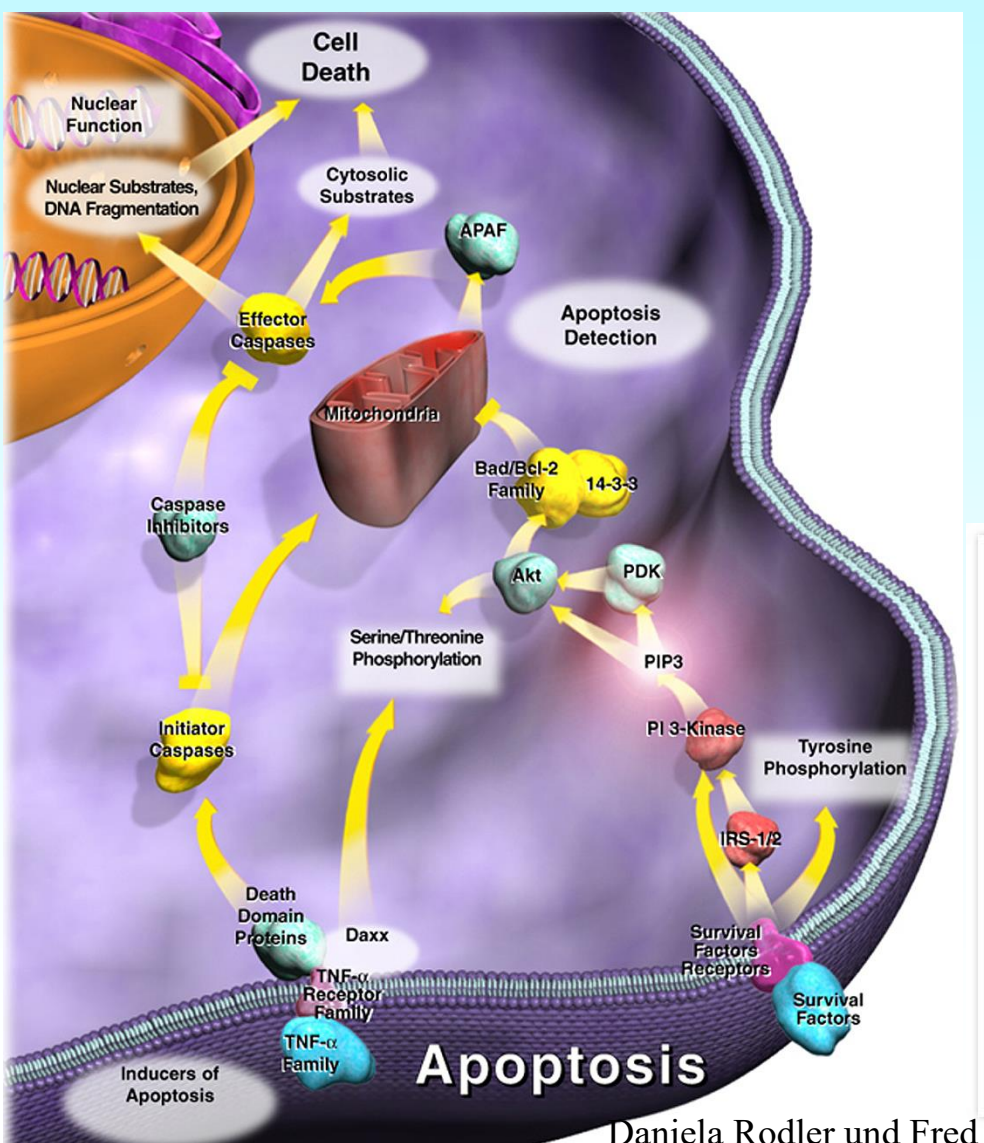


Ruß



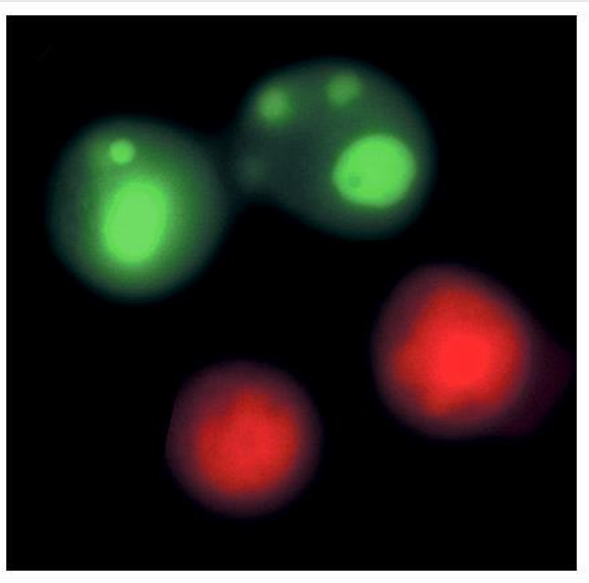
Asbest

Apoptose (Programmierter Zelltod)



Unterscheide: Nekrose

Initiator-Caspasen Effektor-Caspasen Apoptotic bodies



Zellteilung

Mitose (indirekte Kernteilung)

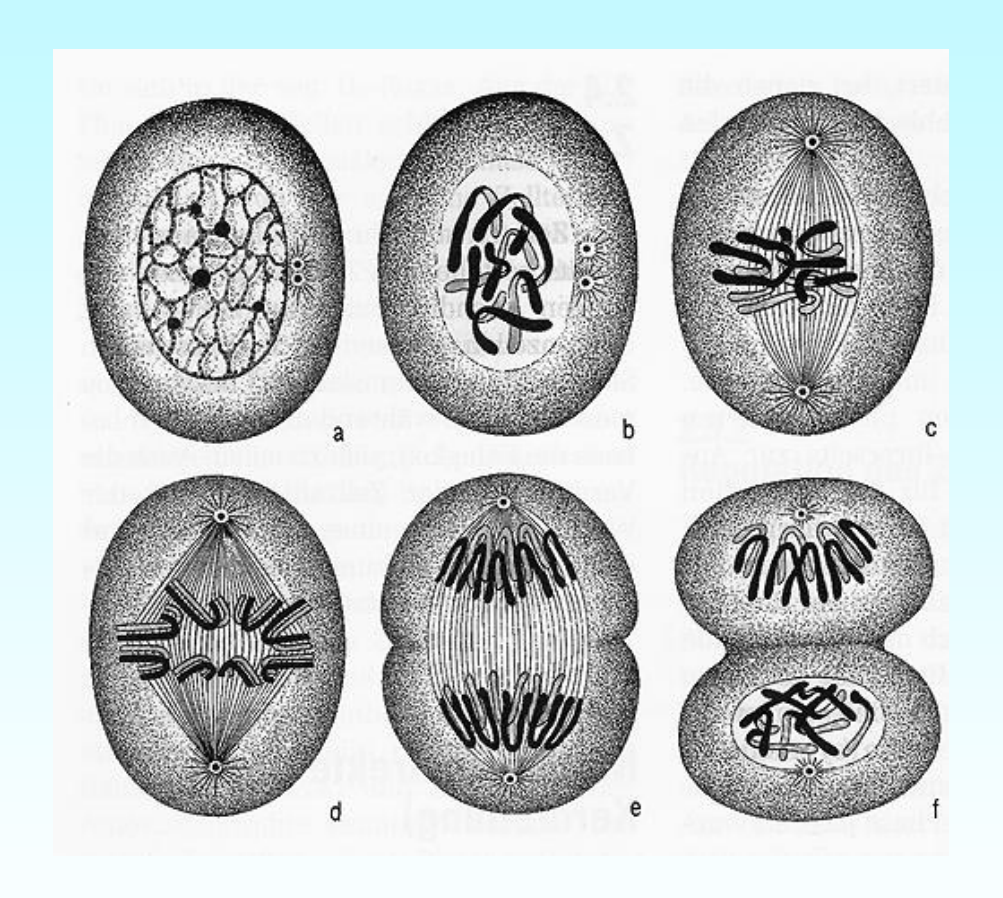
Zytokinese

Äquale Zellteilung

Differentielle Zellteilung

Meiose

Mitose



Diaster

Anaphase:

Prophase

Spiralisierung der Chromosomer

Metaphase: Monaster

Spindel aus Mikrotubuli

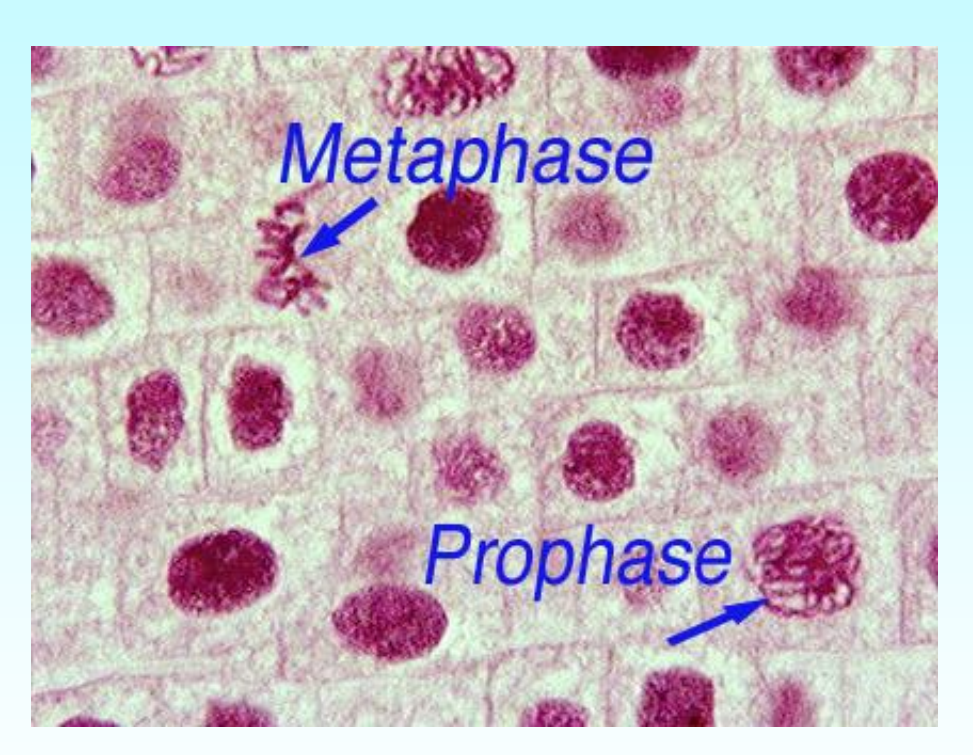
Polare Mikrotubuli

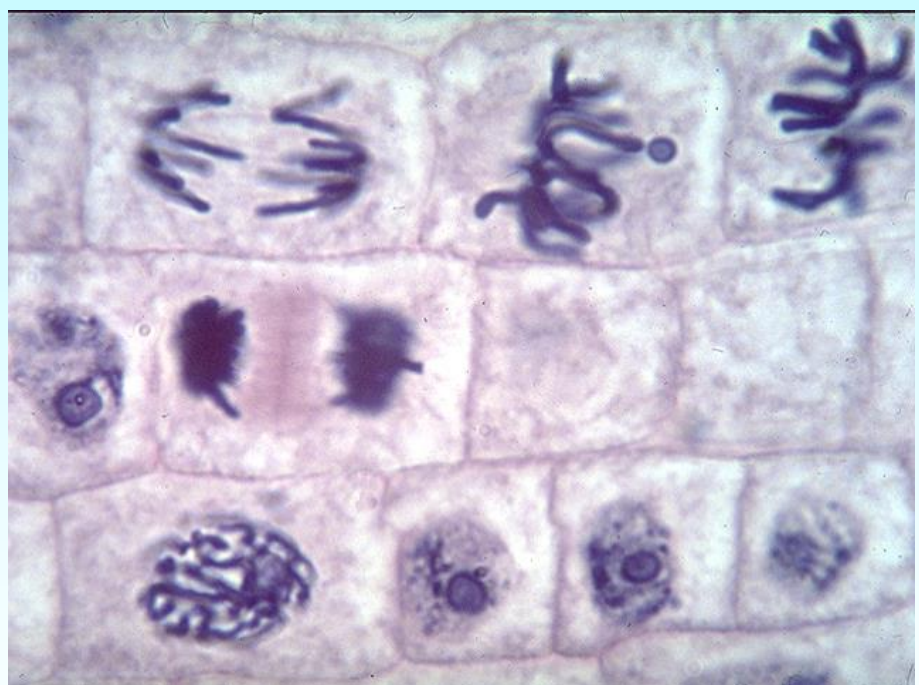
Kinetochorenmikrotubuli

Telophase 2 Tochterzellen Äquatorialebene

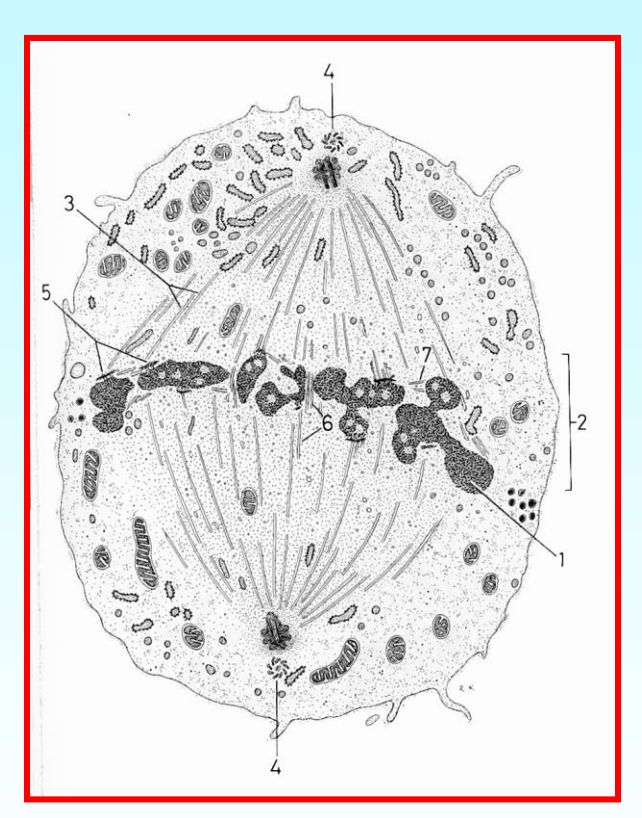
53

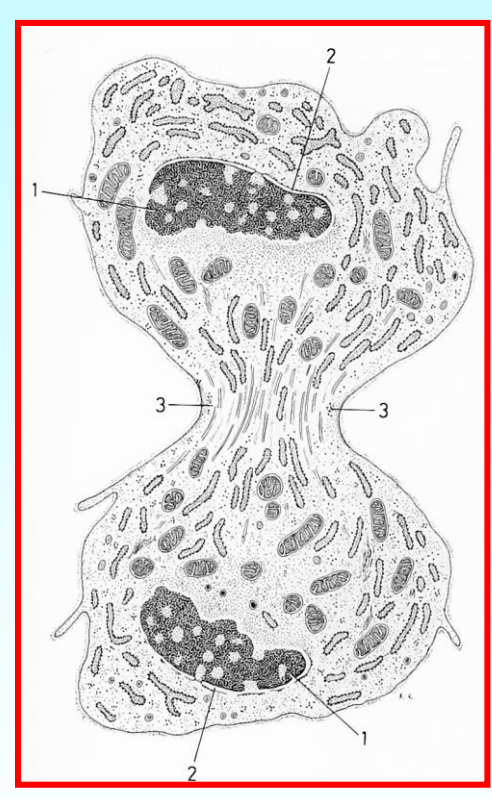
Mitose

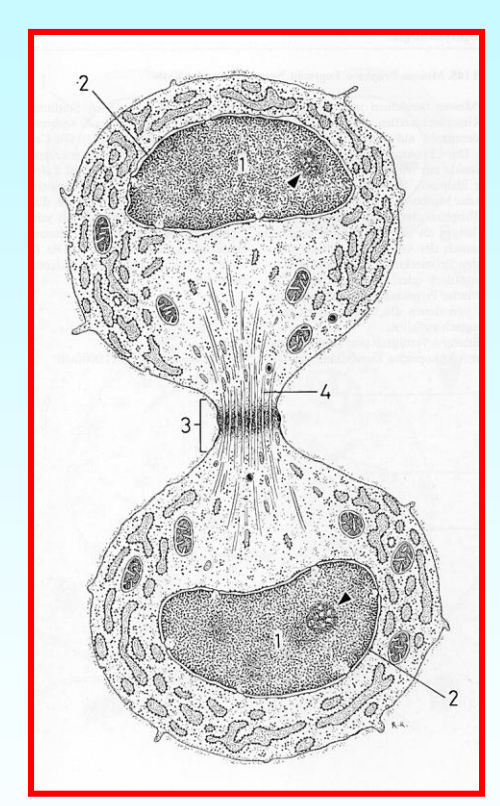




Ultrastruktur der Mitose







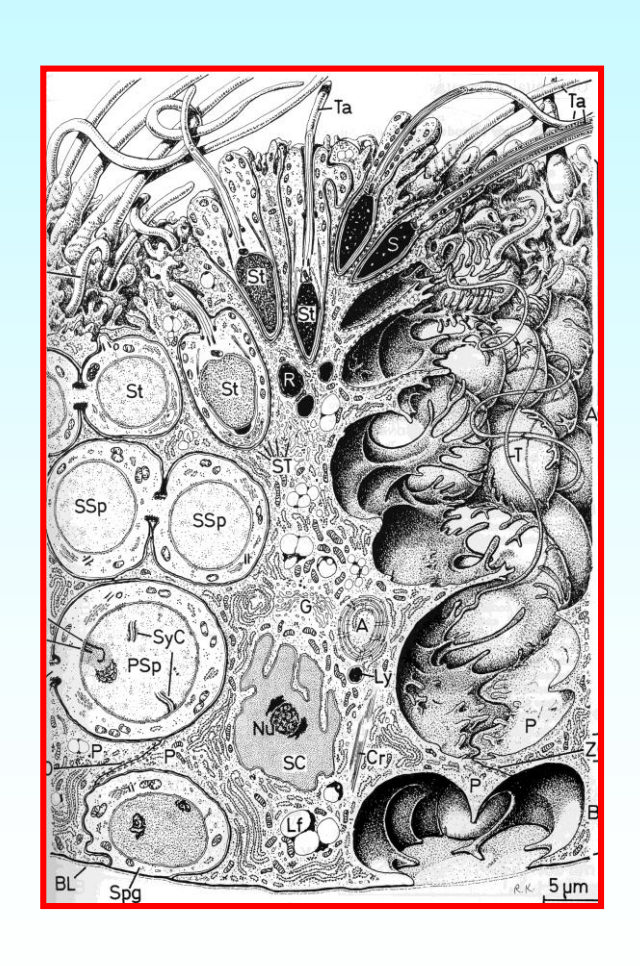
Metaphase

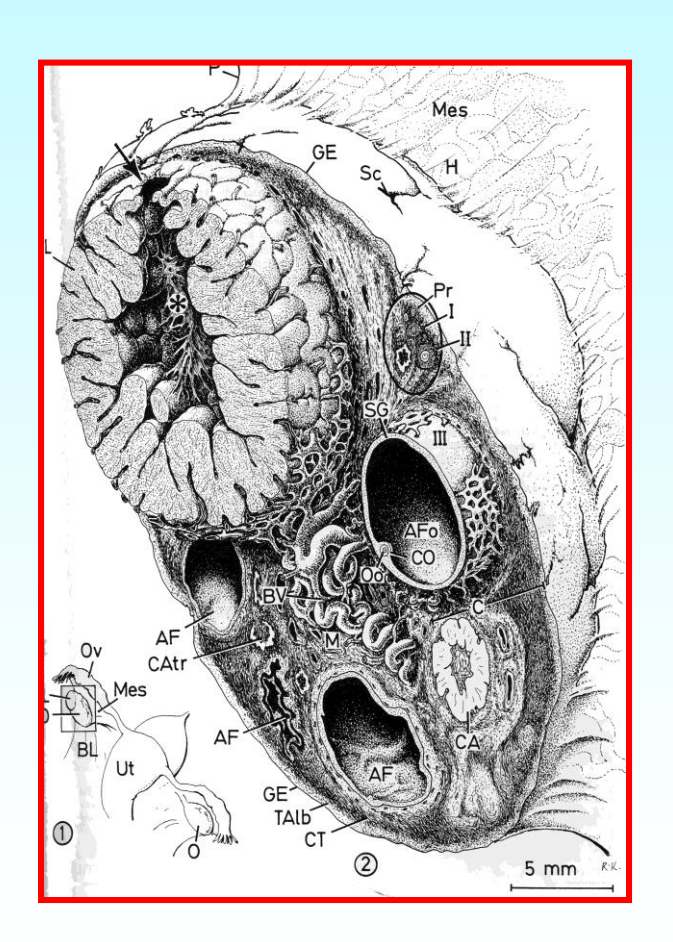
Anaphase

Telophase

Meiose (Reduktionsteilung, Reifeteilung)

Nur bei Bildung der Keimzellen





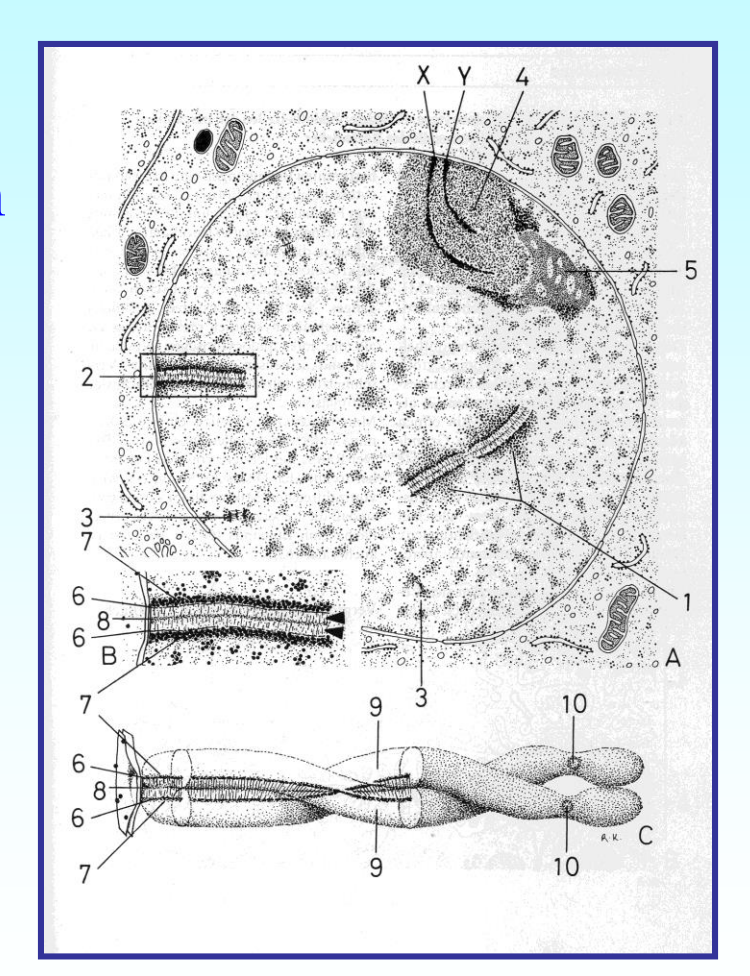
Meiose (Reduktionsteilung, Reifeteilung)

Reduzierung des diploiden Chromosomensatzes zu einem haploiden

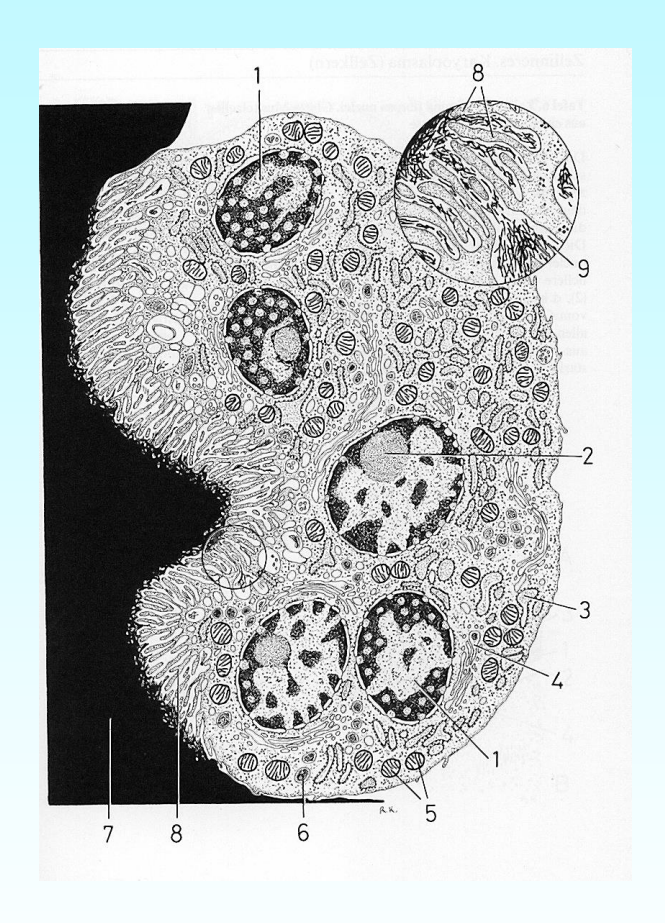
Lange Prophase: Austausch von genetischem Material

Trennung ganzer Chromosomen

Synaptonemaler Komplex



Weitere Teilungsformen



Endomitose

Amitose